

VYSOKÁ ŠKOLA STROJNÍ A TEXTILNÍ V LIBERCI

Fakulta strojní

Katedra KBP

Školní rok: 1990 - 1991

ZADÁNÍ DIPLOMOVÉ PRÁCE

pro Vítězslava Voláka

obor 23 - 21 - 8 zaměření balicí a polygrafické stroje

Vedoucí katedry Vám ve smyslu zákona č. 172/1990 Sb. o vysokých školách určuje tuto diplomovou práci:

Název tématu: Manipulátor pro nakládání a vykládání lahví

Zásady pro vypracování:

Ve výrobním programu podniku Chotěbořské strojírny je linka na mytí a plnění lahví. Nezbytnou součástí takové linky je manipulátor pro přemisťování z a do přepravek z plastické hmoty.

Navrhnete manipulátor pro vkládání a vykládání lahví.

Požadavky:

- 1) Zhodnocení stávajícího stavu
- 2) Návrh mechanismu vkládání a vykládání s přihlédnutím na univerzální využití stroje
- 3) Návrh elektrického pohonu
- 4) Kinetické schéma zařízení
- 5) Rozbor dynamiky stroje
- 6) Pevnostní výpočty vybraných částí
- 7) Ekonomické zhodnocení

VYSOKÁ ŠKOLA STROJNÍ A TEXTILNÍ
Ústřední kancelář
LIBEREC 1, SLOVÁNSKÁ 8
PSČ 461 17

V 136/913

KBP/BP

Rozsah grafických prací: výkresová dokumentace

Rozsah průvodní zprávy: 40 stran

Seznam odborné literatury: Firemní literatura

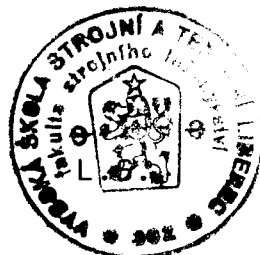
Siegel: Konstrukce zpracovatelských strojů
katalogy, tabulky

Vedoucí diplomové práce: Ing. Marie Olehlová

Konzultant:

Zadání diplomové práce: 30. 10. 1990

Termín odevzdání diplomové práce: 30. 5. 1991



Vedoucí katedry

Prof. Ing. Eduard Šimek, CSc.

Děkan

Prof. Ing. Zdeněk Kovář, CSc.

Eduard Šimek

V Liberci

dne 30. 10. 1990

VŠST LIBEREC

D I P L O M O V A P R Á C E

Vysoká škola strojní a textilní v Liberci
nositelka Řádu práce

Fakulta strojní

Katedra balicích a polygrafických strojů

Obor 23 - 21 - 8

*Stroje a zařízení pro chemický, potravinářský
a spotřební průmysl*

Zaměření
Balicí a polygrafické stroje

M A N I P U L A T O R V K L A D A Č - V Y K L A D A Č

BP - 164

Vítězslav VOLÁK

Vedoucí práce: ing. Marie OLEHLOVÁ

Rozsah práce a příloh:

Počet stran : 58
Počet tabulek: : 1
Počet obrázků: : 26
Počet výkresů: : 3
Počet jiných příloh: 1

UNIVERZITNÍ KNIHOVNA
TECHNICKÉ UNIVERZITY U LIBERCI



3146077006

Datum odevzdání diplomové práce: 3.5.1991

O B S A H

Seznam použité literatury.....	4
Seznam výkresů.....	5
1. ÚVOD.....	6
2. REŠERŠE.....	7
2.1 Principy s přerušovaným tokem.....	7
2.2 Principy kontinuální.....	14
2.3 Zhodnocení.....	16
3. NÁVRH ŘEŠENÍ.....	18
3.1 Požadavky na stroj.....	18
3.2 Rozbor.....	18
3.3 Návrh konstrukčního řešení.....	19
3.4 Návrh algoritmu řízení programově řízeného manipulátoru vkladače – vykladače.....	21
4. ŘEŠENÍ-VÝPOČTY.....	26
4.1 Volba principu.....	26
4.2 Návrh pohybu.....	26
4.3 Návrh motoru – rozbor dynamiky.....	32
5. PEVNOSTNÍ VÝPOČTY.....	39
5.1 Výpočet sloupu a ramena – určení průhybu.....	39
5.1.1 Výpočet posunutí bodu D.....	40
5.1.2 Pevnostní výpočet sloupu a ramena s ohledem na setrvačné síly.....	43
5.2 Návrh pojezdových kol.....	47
5.3 Výpočet řetězového převodu.....	50
6. EKONOMICKÝ ROZBOR – ZHODNOCENÍ.....	56
7. ZÁVĚR.....	58

S E Z N A M P O U Ž I T É L I T E R A T U R Y

- (1) SIGL,F.: Konstrukce zpracovatelských strojů.
ČVUT Praha, 1983.
- (2) PRÁSIL,L.: Části a mechanismy strojů.
VŠST Liberec, 1988.
- (3) BOLEK,A.-KOCHMAN,J. a kol.: Části strojů. Svazek 1.
SNTL Praha, 1989.
- (4) BOLEK,A.-KOCHMAN,J. a kol.: Části strojů. Svazek 2.
SNTL Praha, 1989.
- (5) HÁJEK,E.-REIF,P.-VALENTA,F.: Pružnost a pevnost I.
SNTL Praha, 1988.
- (6) STŘÍŽ,B. a kol.: Metodická příručka z pružnosti a
pevnosti. VŠST Liberec, 1983.
- (7) PECHAR,J.-STUDNIČKA,J.-VRBA,K.: Prvky kovových
konstrukcí. SNTL Praha, 1985.
- (8) VÁVRA,P. a kol.: Strojnické tabulky.
SNTL Praha, 1984.
- (9) PRÁSIL,L.-OLEHLOVÁ,M.: Části strojů a mechanismů
(cvičení). VŠST Liberec, 1984.
- (10) LUBOJACKÝ,O. a kol.: Základy robotiky.
VŠST Liberec, 1987.
- (11) PUSTKA,Z.: Technické kreslení.
VŠST Liberec, 1988.
- (12) KALIVODA,J.: Vkladač Lahví. Diplomová práce,
ČVUT-FS, Praha 1976.
- (13) FIREMNÍ LITERATURA FIREM: Kettner, MEZ Mohelnice,
ZTS Košice, Strojírny Košíře, AGRA Přelouč,
CHS Chotěboř.

S E Z N A M V Y K R E S Ů

Vkladač - vykladač	0-BP-164-00
Horizontální pojezd	1-BP-164-00.01
Kinematické schéma	1-BP-164-00.02

1. ÚVOD.

Současná lahvárenská technika zajišťuje veškeré operace od mytí až po etiketování zpracováním jednotlivých lahví, které je třeba na začátku linky z přepravních obalů vyjmout a na konci linky je opět do nich vložit.

U linek do výkonnosti 8000 až 9000 lahví/h je možné tyto operace provádět ručně, přičemž jeden pracovník je schopen zajistit maximálně vložení nebo vyložení 2500 až 3000 lahví/h, přičemž ruční vkládání lahví do přepravek třemi pracovníky při výkonnosti 8000 lahví/h je nutno považovat za maximální. Tento způsob však není vhodný. Jde o jednotvárnou, fyzicky namáhavou práci spojenou s nebezpečím úrazu – pořezáním skelnými střepy.

Z těchto důvodů je vhodné i při nižších výkonech použít vkladač a vykladač. Přičemž za spodní hranici účelného a efektivního využití vykladače a vkladače je možno označit výkonnost od 4000 lahví/h.

Zařazení stroje do lahvárenské linky je schématicky naznačeno v příloze.

Tato diplomová práce je zaměřena na návrh univerzálního vkladače – vykladače lahví pro nižší výkony, tj. kolem 10000 lahví/h. Tím se snaží vyplnit mezera ve výrobním sortimentu CHS Chotěboř.

2. R E Š E R Š E.

V současné době vyráběné vkladače a vykladače lahvi je možno podle toku zpracovávaných předmětů, tj. lahvi a přepravek rozdělit do dvou skupin:

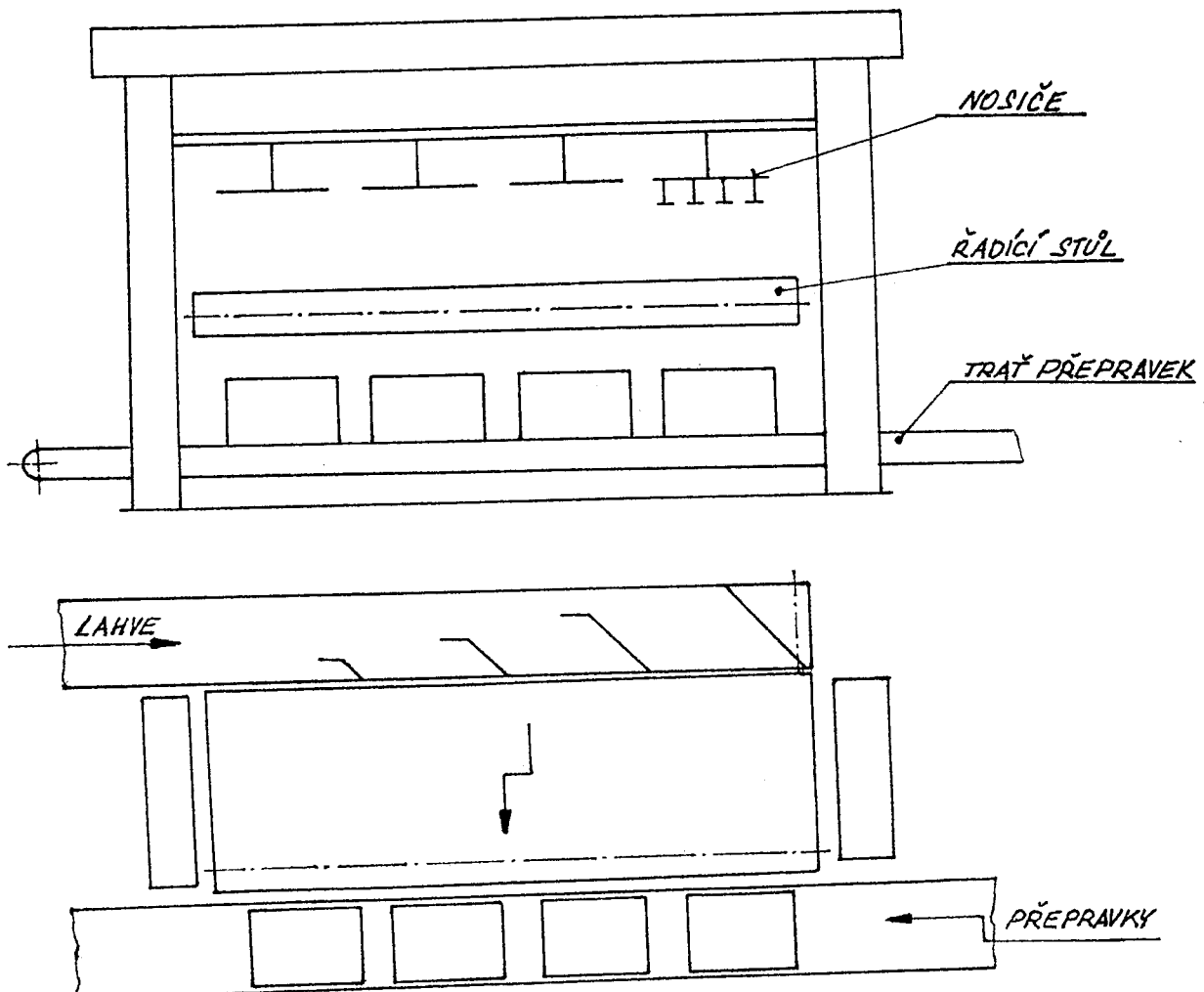
2.1 Principy s přerušovaným tokem.

2.2 Principy kontinuální.

Nyní se zaměřím na porovnání těchto dvou principů.

2.1 Principy s přerušovaným tokem.

V této skupině je zastoupena převážná většina v současné době vyráběných středně výkonných vkladačů a vykladačů. Na obrázku je naznačeno tokové schéma pro vkladač.



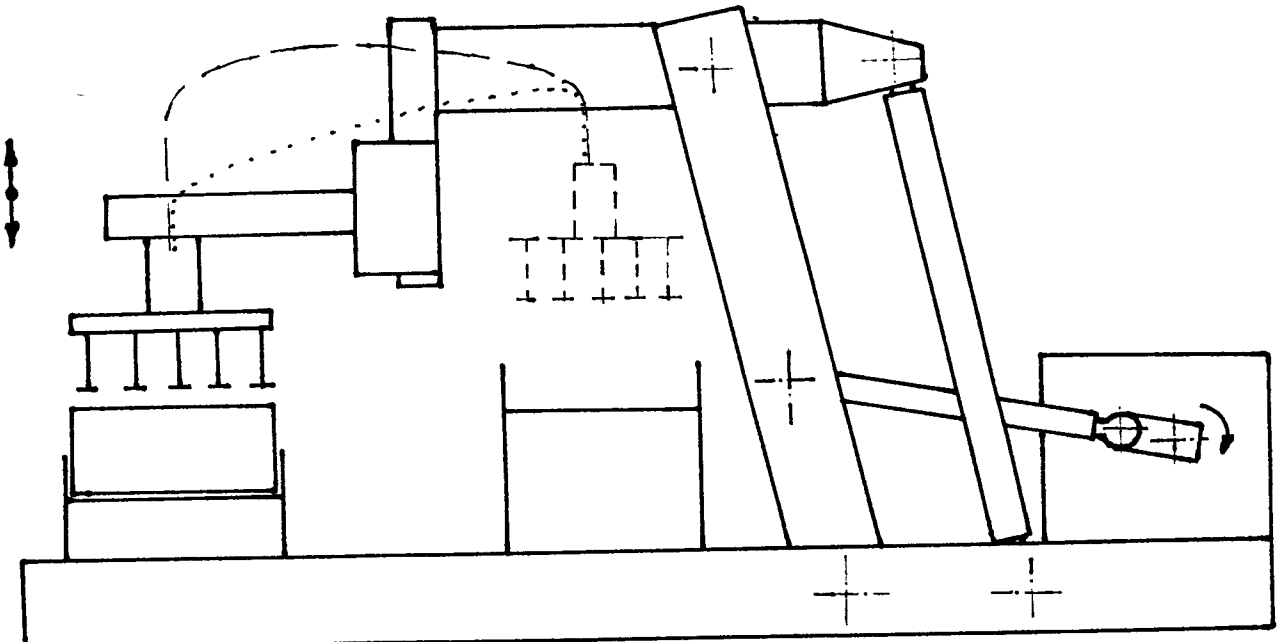
Lahve jsou přiváděny destičkovým dopravníkem na široký řadící stůl, kde jsou nejprve systémem naváděcích lišt a hradítek rozděleny do požadovaného počtu paralelních proudů. V příčném směru jsou vyrovnaný dorazem, na který jsou natlačovány nově přicházejícími lahvemi. Tak jsou uvedeny do klidu a vyrovnaný. Nyní jsou uchopeny nosičem s chapači a přeneseny do stojících přepravek. Přepravky jsou obvykle přiváděny

po válečkové trati ve směru kolmém ke směru toku lahví na řadícím stole. Pomocným orgánem je prováděno krokování přepravek.

Zvyšování výkonu těchto strojů je obvykle prováděno zvětšováním počtu nosičů a přepravek ve směru toku přepravek. Druhý způsob zvětšování výkonu je vytváření dvou nebo více paralelních řad nosičů a přepravek. Stroje této skupiny vyráběné různými firmami se od sebe liší způsobem provedení pohonu nosičů s chapači. Snahou je dosáhnout dynamicky kvalitní a prostorově výhodné zdvihové závislosti. Jako příklad je možno uvést několik výrobků známých evropských firem. Na následujících stranách jsou uvedeny principy řešení problematiky některými firmami.

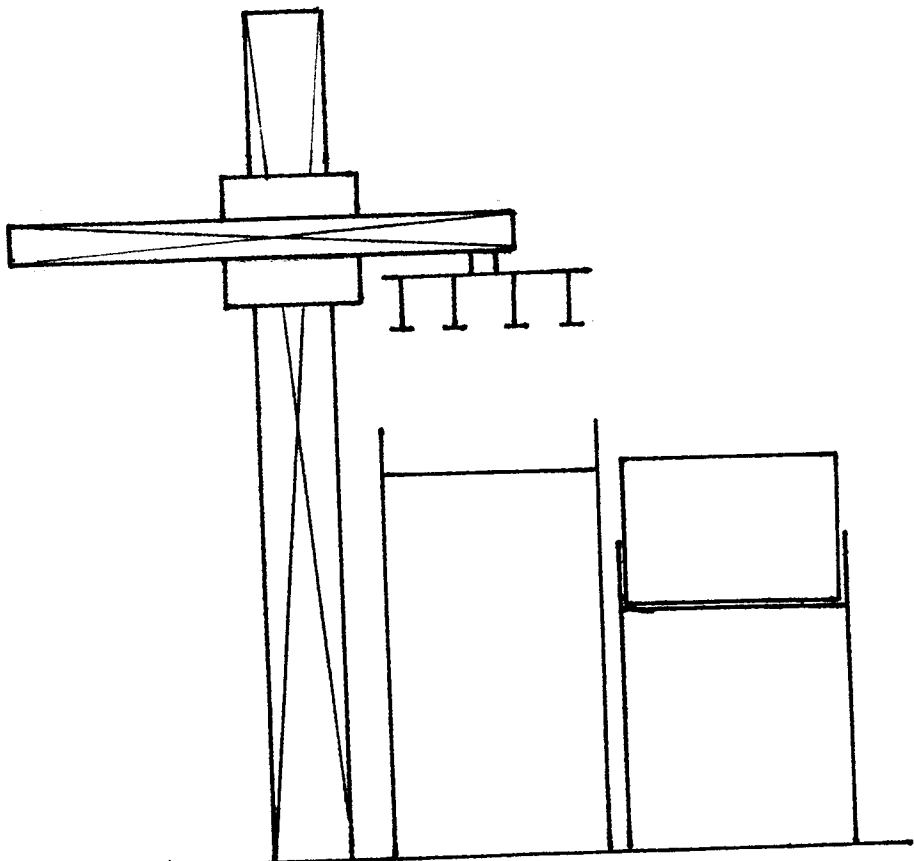
Typ ROBOT firmy KETTNER

Pohon tohoto manipulátoru je zajištěn pomocí dvou elektromotorů. Jeden elektromotor pohybuje mechanismem v horizontálním směru prostřednictvím klikového mechanismu, druhý motor pohybuje mechanismem ve vertikálním směru. Horizontální poloha uchopovací hlavy je zajištěna tyčí T. Jelikož se jedná o manipulátor s decentralizovaným pohonem, je možno zajistit optimální dráhu úchopné hlavice manipulátoru s lahvemi (A) i bez lahví (B). Manipulátor se pomocí programu dá pružně přizpůsobit širokému sortimentu lahví.



Typ HANDLING ROBOT firmy KETTNER

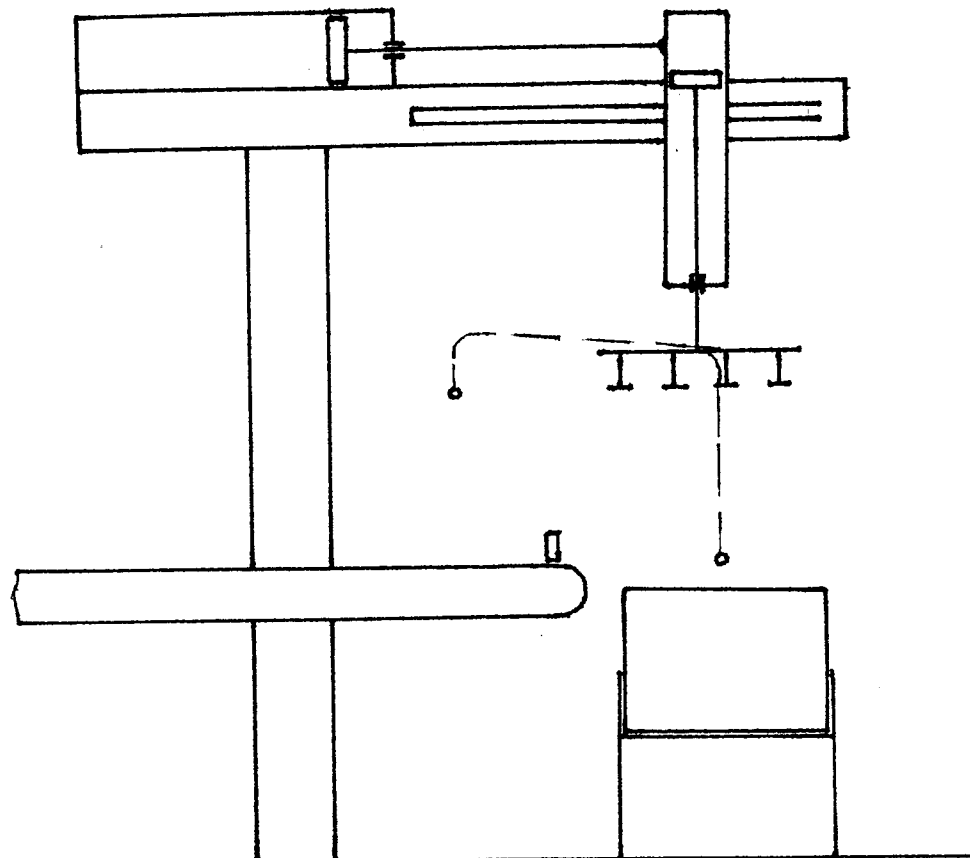
Manipulátor je poháněn decentralizovaným pohonem s dvěma elektromotory. Jedná se o univerzální manipulátor s dvěma translačními jednotkami. Svým výkonem je určen do linek s nižšími výkony. Výkon stroje je ovlivněn počtem uchopovacích hlav. Řízení je provedeno elektronickým řídícím centrem, které umožňuje použití na různé typy lahví.



Typ VA-Auspack a VE-Einpack firmy Holstein a Kappert

Pohon nosičů je proveden hydraulickými válci zvláště ve svislém a vodorovném směru. Pohon teoreticky umožňuje použití kinematicky nejvhodnější zdvihové závislosti. Její dodržení je však dáno způsobem řízení hydraulického systému.

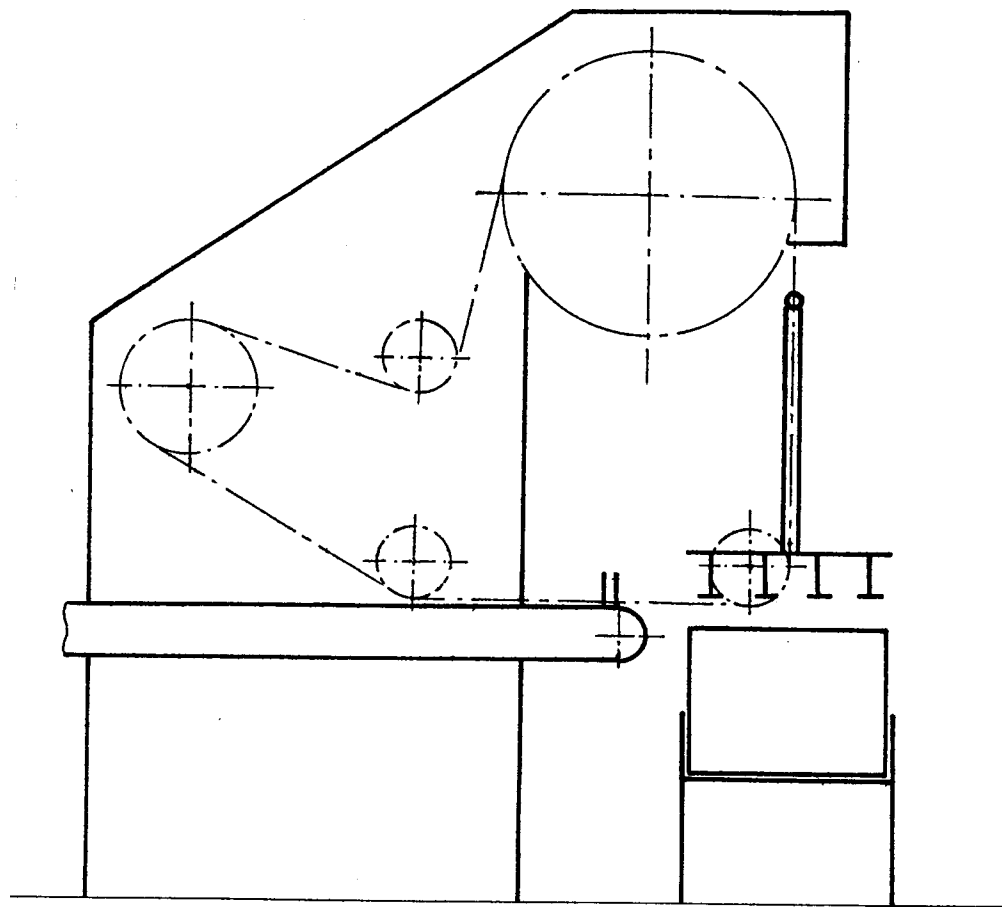
Podle počtu nosičů, kterých může být 1 až 10, má stroj výkon 600 až 5000 př./hod. Schéma je na obrázku.



Typ BLITZPACK firmy KETTNER

Nosiče s chapači jsou unášeny na kloubovém řetězu. Tím je dáno, že jejich trajektorie se musí skládat z přímých úseků a kruhových oblouků, což je omezující faktor.

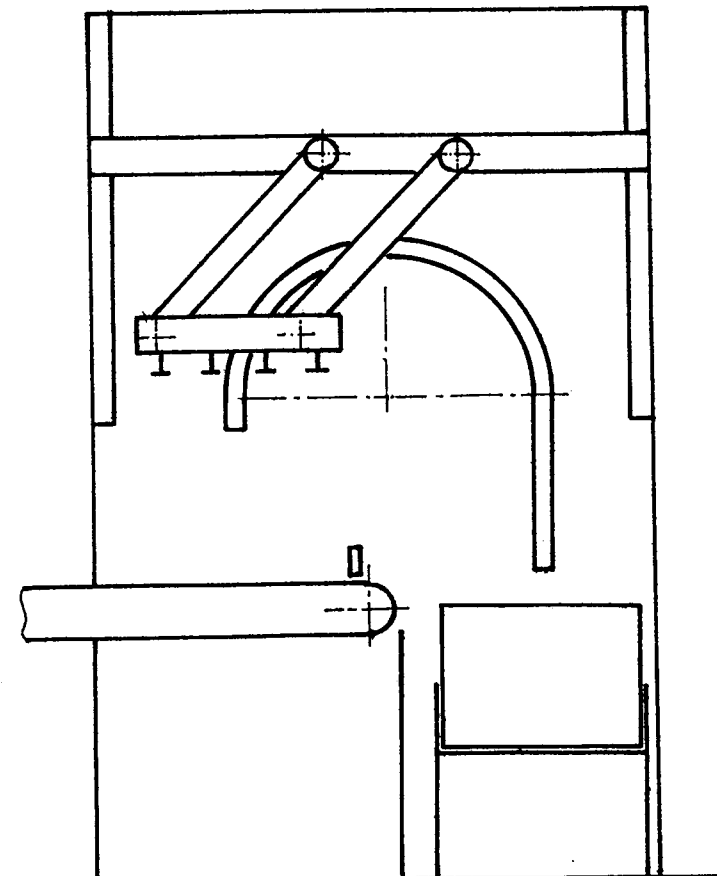
Udávaný výkon se podle počtu nosičů, kterých je 1 až 8, pohybuje od 500 do 4000 př./hod.



Typ MECHANIK firmy CHS Chatěbor

Jedná se o jednobočnicový stroj v provedení vkladač nebo vykladač lahvi. Stroj MECHANIK 2 má dvě uchopovací hlavy. Manipulační rám je zavěšen přes pantografy na pohyblivém vozíku, který se pohybuje ve vodících drahách bočnic. Pantograf s vozíkem zachycuje klopný moment manipulačního rámu. Nevýhodou tohoto řešení je pevně stanovená dráha pohybu uchopovací hlavy.

Stroj se také vyrábí v provedení se 3 a 6 nosiči.

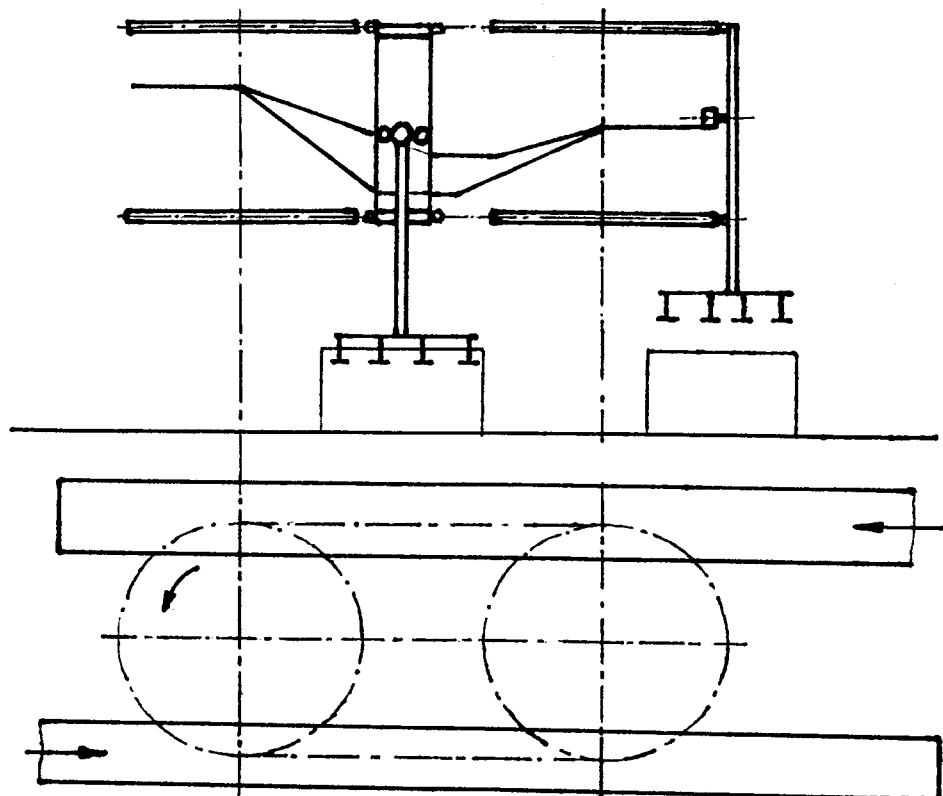


2.2 Principy kontinuální.

Strojů, které lze zařadit do této skupiny, není zatím mnoho. Důvodem jsou některé problémy vyplývající z činnosti těchto strojů. Je to především obtížnost v zajištění synchronizace mezi pohybem pásu s přepravkami a pohybem vlastního mechanismu.

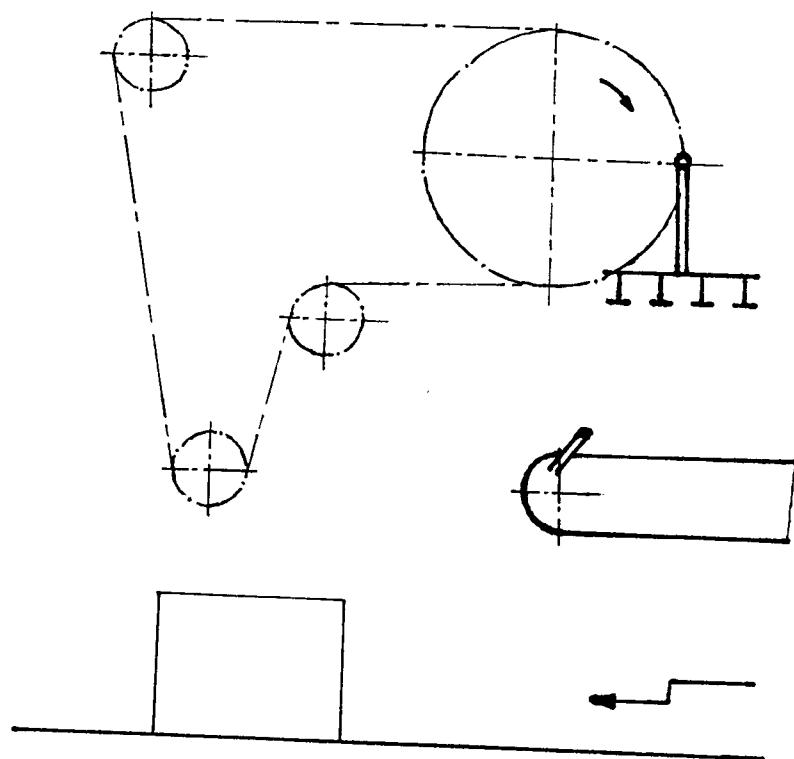
Základní uzavřená dráha nosičů s chapači může ležet v rovině horizontální nebo vertikální.

Principu s dráhou v horizontální rovině je použito u výrobku francouzské firmy REMY.



Základní pohyb se děje po oválu a je odvozen od tažného kroubovového řetězu. K tomuto pohybu je přidružen ještě pohyb ve svislém směru, který je dán křivkovou dráhou a zajišťuje zvedání a ukládání lahví do přepravek a na dopravníky. Stroj může pracovat jako vkladač, vykladač nebo jako spojený vkladač a vykladač. Při tomto řešení pracuje polovina nosičů jako vkladač a polovina jako vykladač. Jako výhody tohoto uspořádání je uváděna jednodušší údržba, nižší investiční náklady a malá zastavěná plocha.

Posuvný rovnoměrný pohyb ve svislé rovině konají nosiče s chapači u stroje s názvem **KONTIPACK** firmy **KETTNER**.



Z obrázku je zřejmé, že přepravky konají pohyb přerušovaný. Výkon jednotlivých typů řady je možno regulovat. Řazení lahví u vkladače je prováděno sklopnou lištou. Z dostupných materiálů není bohužel možno určit počet nosičů, ani provedení ostatních základních mechanismů.

2.3 Zhodnocení.

Uvedené příklady a obecné poznatky o obou používaných principech umožňují provést porovnání podle několika hledisek.

A) Výkon

Princip s přerušovaným tokem vykazuje se stoupajícím celkovým výkonem pokles měrného výkonu. Kontinuální princip, který není zatěžován dynamickými silami, umožňuje udržení konstantního měrného výkonu. Zvětšování počtu nosičů nemá u kontinuálního principu takový vliv na rozměry zařízení jako u stroje s přerušovaným tokem.

B) Pohon

Pro principy s přerušovaným tokem se používají elektrické nebo hydraulické decentralizované pohony. Kontinuální principy vyžadují centralizované pohony, které jsou konstrukčně složitější. Příkon stroje s přerušovaným tokem je jistě větší než příkon stroje s rovnoměrným pohybem přenášených hmot.

C) Manipulace s Lahvemi a přepravkami

Oba principy lze použít v jednořadém provedení. Při kontinuálním principu je problém s příčným vyrovnáním Lahví při vkládání. Pro princip s přerušovaným tokem vychází široký řadící stůl, který je nutno rovnoměrně zaplňovat, je třeba provádět krokování s šesti i více přepravkami v řadě.

D) Rozměry zařízení

Stroje s přerušovaným tokem pracují s několikanásobně větším časem cyklu a tím i větším počtem jak přepravek, tak Lahví v jednom cyklu. Z toho plynou i větší celkové rozměry stroje.

E) Regulace výkonu

Centralizovaný pohon kontinuálních strojů umožňuje plynulou regulaci výkonu, kterou je možno provádět i automaticky podle

zatížení linky. Regulace výkonu stroje s decentralizovanými pohony je obtížnější (obvykle se používá hrubé regulace "zapnuto" - "vypnuto").

F) Provoz

Při provozu, hlavně vkladače lahví, dochází často k situacím, kdy je třeba stroj zastavit a provést úpravu nebo výměnu přepravky či lahve. Princip s přerušovaným tokem a vratným pohybem nosičů umožňuje částečné vrácení nosičů a tím otevření operačního prostoru. U kontinuálního stroje, kde jsou lahve zasouvány vždy jen do jedné přepravky, je určení vadné přepravky snadné, ale její výměna se musí řešit bez vracení nosičů. Do lahvárenské linky, kde většina strojů pracuje kontinuálně, lépe "zapadá" další kontinuální zařízení (platí pouze při vysokých výkonech).

Závěr:

Z uvedeného vyplývá, že pro vysoké výkony je výhodnější princip kontinuální než dynamicky velice zatěžovaný princip s přerušovaným tokem. Jeho rozšíření nebrání vlastnosti principu, ale konstrukční problémy jako např. řazení lahví při vkládání, sestavení a řízení centralizovaného pohonu.

Ovšem při nízkých výkonech nastává situace opačná. V tomto případě je kontinuální vkladač zbytečně rozměrný, rychlý a drahý. Výhodnější proto je stroj s přerušovaným tokem, který je levnější a má o mnoho menší rozměry. Z tohoto vyplývá, že při velmi vysokých výkonech "vyhrává" kontinuální stroj a při nízkých výkonech zase stroj s přerušovaným tokem.

3. NÁVRH ŘEŠENÍ.

3.1 Požadavky na stroj

- schopnost zpracovat celý sortiment lahví a přepravek
- vysoký komfort obsluhy - programové řízení
- přizpůsobení tvaru dráhy typu lahví a přepravek a uspořádání linky
- přizpůsobivost rychlosti chodu stroje, chodu linky a situacím na lince vzniklých
- tvar dráhy a průběh rychlosti musí být plynulý do té míry, aby nedocházelo k rozhoupatání přenášených lahví a byly vytvořeny podmínky pro bezporuchovou činnost

3.2 Rozbor

Potřebný pohyb uchopovací hlavy lze zajistit různými způsoby. Mně se zdá jako nejvhodnější složit výsledný pohyb z pohybu vodorovného a svislého. V tomto případě vychází konstrukční řešení poměrně jednoduché.

Aby bylo zajištěno vytvoření různých druh, neprobíhají vždy obě složky pohybu současně a zároveň ani stejnou rychlosťí. Pohyb s lahvemi bude svou dráhou a rychlosťí odlišný od pohybu bez lahví. Pohyb bez lahví může být rychlejší, po kratší dráze a s nižšími nároky na plynulost. Z toho vyplývá nutnost dvou nezávislých pohonů, tedy jeden pro směr svislý a druhý pro směr vodorovný. Spřažení a sladění obou pohybů zajišťuje řídící centrum stroje ovládáním otáček motoru obou pohonů. Realizace obou pohybů může být různá a vychází z rotačního pohybu motoru a translačního pohybu mechanismu, tedy neidentické dvojice. Převod rotačního pohybu na přímočarý může být zajištěn dvojicí řetěz-řetězové kolo, matice-pohybový šroub, pastorek-ozubený hřeben nebo klikový mechanismus v případě horizontálního pohybu.

Základem tvorby pohonu bude tedy elektromotor s brzdou, jehož otáčky se dají regulovat. (Může být použit i motor bez brzdy v případě, že převodovka mezi motorem a převodem rotačního pohybu na posuvný bude samosvorná.) K tomuto účelu by se dalo použít motoru MEZOMATIC. Je určen pro roboty a manipulátory a pro naši potřebu zbytečně přesný a tím i drahý. Náhradou za něj se dá použít trojfázový asynchronní motor, řízený pomocí regulátoru a frekvenčního měniče.

Řízení obou základních pohybů a vykonávání dalších činností stroje v návaznosti na hlavní pohyb bude zajišťovat elektronické řídící centrum. Podkladem pro jeho činnost bude algoritmus řízení stroje plus navrhnuté průběhy zdvihů, rychlostí, zrychlení a analytické vztahy popisující daný pohyb.

3.3 Návrh konstrukčního řešení

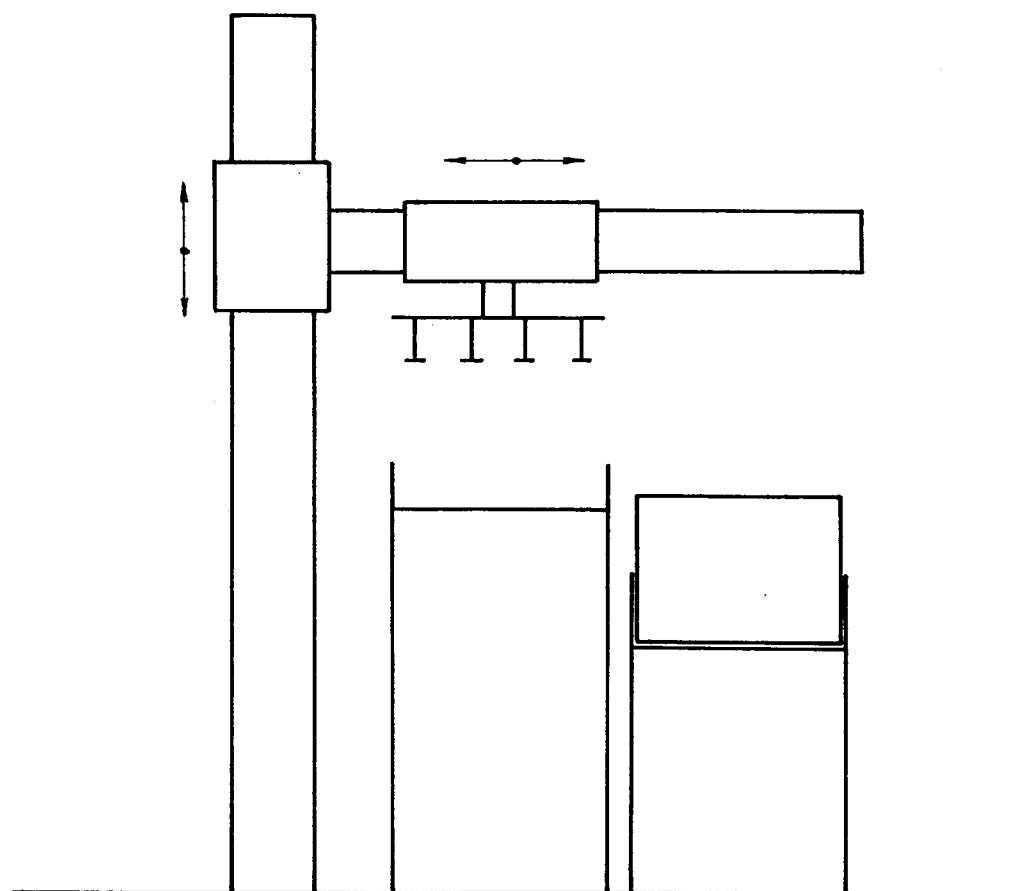
Za optimální řešení považuji použití dvou vozíků, pohybujících se po vzájemně kolmých pojezdových drahách.

Po svislém sloupu se na osmi kladkách pohybuje pomocí řetězu a řetězového kola vozík, na němž je připevněno vodorovné rameno s vozíkem s uchopovací hlavou. Na druhém konci řetězu je připevněno vyvažovací závaží.

Horizontální vozík se opět pohybuje na osmi kladkách. Je pevně spojen s řetězem, na který se přenáší rotační pohyb horizontálního elektromotoru.

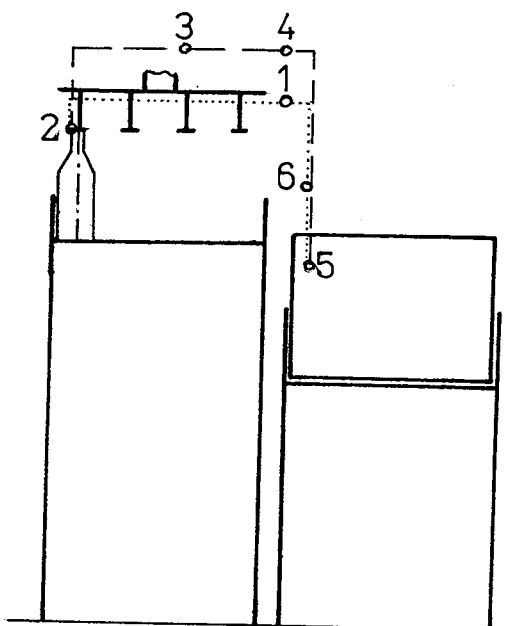
Vále ve vedení vozíků jsou vymezovány excentrickým čepem, na kterém je umístěna každá kladka. Vertikální motor se šnekovou převodovkou je připojen k řetězovému kolu spojkou. U horizontálního pohybu je řetězové kolo přímo na hřídeli planetové převodovky, která je spojena s elektromotorem. Domnívám se, že řetězový převod je svou jednoduchou konstrukcí, spolehlivostí a příznivou cenou pro dané řešení nejvhodnější.

Na obrázku je zjednodušeně naznačeno řešení



3.4 Návrh algoritmu řízení programově řízeného vkladače a vykladače lahvi**V K L A D A Č**

Hlavní body algoritmu vkladače jsou zobrazeny na pracovní dráze uchopovací hlavy na obrázku.

**Vkladač:**

- 1 - kontrola dojetí lahvi na řadícím stole a další činnost dle algoritmu
- 2 - napuštění vzduchu do chapačů
- 3 - rozběh řadícího stolu
- 4 - kontrola dojetí přepravek a další činnost dle algoritmu
- 5 - vypuštění vzduchu z chapačů
- 6 - kontrola volného místa pro vyjetí přepravek ze stroje a připravenosti přepravek před strojem k najetí pod hlavy
- ... dráha bez lahvi
- dráha s Lahvemi

1) Manipulační rám s uchopovacími hlavami v bodě "1" je přibližně v polovině pracovní dráhy, příslušející odlehčenému stroji, tedy při pohybu z dolní úvrati do horní úvrati. V této fázi se provádí kontrola dojetí lahví na svá místa na řadícím stole, a to sice kontrolou nasvícení fotočidla F1.

Možné situace:

- a) Lahve nejsou dojeté – fotočidlo F1 není nasvícené – stop uchopovací hlavy – řadící stůl a řadič zůstává v chodu – signalizace "porucha lahví" a "start předvolen" – stroj čeká na dojetí lahví – dojetí lahví – stop řadícího stolu a řadiče – po prodlevě T1 start uchopovacích hlav, zrušení signalizace "porucha lahví" a "start předvolen".
- b) Lahve jsou dojeté – fotočidlo F1 je nasvícené – stop řadícího stolu – uchopovací hlavy pokračují v najetí nad lahve.

2) Manipulační rám s uchopovací hlavou je v bodě "2", tj. v horní úvrati – napuštění vzduchu do chapačů.

3) Manipulační rám s uchopovací hlavou zatížený lahvemi se pohybuje z horní úvrati směrem do dolní úvrati a dostává se do bodu "3", v němž poslední řada nesených lahví míjí zábradlí – rozbeh řadícího stolu a řadiče.

4) Manipulační rám s uchopovací hlavou se dostává při pohybu do dolní úvrati do místa "4" – provádí se kontrola dojetí přepravek.

Možné situace:

- a) Přepravky jsou dojety – je zacloněno čidlo F2 a F3 – stop pohonu dopravníku přepravek – uchopovací hlava pokračuje do dolní úvrati.
- b) Přepravky nejsou dojety – je nasvíceno čidlo F2 nebo F3 – stop uchopovací hlavy – signalizace "porucha přepravky" a "start předvolen" – stroj čeká na dojetí lahví – po dojetí lahví start uchopovací hlavy – stop dopravníku přepravek –

zrušení signalizace "porucha přepravky" a "start předvolen" - uchopovací hlava pokračuje do dolní úvrati.

5) Manipulační rám s uchopovací hlavou je v dolní úvrati - vypuštění vzduchu z chapače, a tedy uvolnění lahví.

6) Manipulační rám s uchopovací hlavou odlehčený od lahví se pohybuje z dolní úvrati do horní úvrati a dosáhne přibližně místa "6" - kontrola volného místa za dopravníkem přepravek a kontrola připravení prázdných přepravek k najetí do stroje.

Možné situace:

a) Za dopravníkem přepravek je volné místo pro vyjetí plné přepravky ze stroje a před strojem je připravena prázdná přepravka k najetí do prostoru pro vkládání - fotočidlo F4 je nasvíceno a fotočidla F5 a F6 jsou zacloněna - stroj pokračuje v práci a dojde k výměně plných přepravek za prázdné.

b) Za dopravníkem přepravek není volné místo pro vyjetí plné přepravky nebo není připravena prázdná přepravka k vjezdu do stroje - fotočidlo F4 je zacloněno nebo je nasvíceno fotočidlo F5 nebo F6 - stop uchopovací hlavy - signalizace "porucha přepravky" a "start předvolen" - stroj čeká na odstranění poruchy - po odstranění poruchy start uchopovací hlavy, zrušení signalizace "porucha přepravky" a "start předvolen" - proběhne výměna přepravky.

7) Stroj pokračuje v práci a opakuje se cyklus od místa "1".

8) Výměna přepravek

Po kontrole dle odstavce 6) - zasunutí zarážky Z1 a rozběh dopravníku přepravek, kontrola vyjetí plných přepravek ze stroje - přepravka vyjeta - nasvícení fotočidel F5 a F6, vysunuta Z1 a zasunuta Z2 - najíždí prázdná přepravka - kontrola najetí přepravky - přepravka najeta - zaclonění F5 a F6 - vysunutí zarážky Z2.

9) Najetí chapačů na překážku - nadzvihne se hlava s chapači - zaclonění fotočidel F7 či F8 - stop manipulačního rámu, reverzace do místa "4" - stroj čeká na zásah obsluhy a signalizuje poruchu a navolí se původní směr pohybu - obsluha odstraní překážku a uvede uchopovací hlavu do pohybu stisknutí tlačítka "strat hlavy", zároveň se zruší signalizace poruchy.

10) Reverzace za chodu stroje - stisknutí a držení tlačítka "reverzace" - stop uchopovací hlavy - start uchopovací hlavy opačným směrem po dobu držení tlačítka - uvolnění tlačítka - zastavení uchopovací hlavy a navolení původního směru.

11) Ochrana pracovníka před nebezpečným zásahem do prostoru pohybu manipulačního rámu - fotočidla tvoří světelnou závoru - při přerušení světelného paprsku - stop stroje.

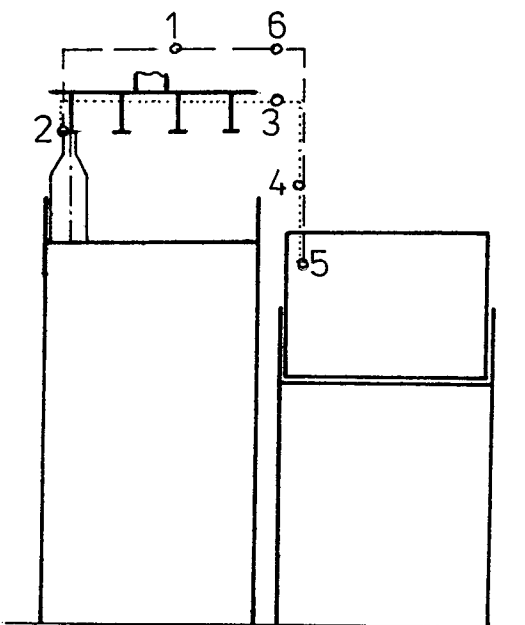
12) Přizpůsobení se stroje chodu linky - v horní úvrati kontrola zásoby pěti přepravek před strojem a zaplnění dopravníku lahvi před strojem.

Možné situace:

- a) kontrola pozitivní - stroj pokračuje v práci s vyšším výkonem do další kontroly v horní úvrati
- b) kontrola negativní - stroj pokračuje v práci s nižším výkonem do další kontroly v horní úvrati

V Y K L A D A Č

Algoritmus řízení vykladače bude obdobný algoritmu vkladače, pouze přizpůsobený opačné funkci stroje a jeho hlavní body jsou znázorněny na následujícím obrázku.

**Vyklopač:**

- 1 - kontrola uvolnění OS a další činnost dle algoritmu
- 2 - vypuštění vzduchu z chapačů
- 3 - rozběh OS
- 4 - kontrola najetí plné přepravky pod hlavu a další činnost dle algoritmu
- 5 - napouštění vzduchu do chapačů
- 6 - kontrola místa pro vyjetí přepravky ze stroje a připravenost plné přepravky k najetí do stroje
- ... dráha bez lahví
- dráha s lahvemi

4. ŘEŠENÍ - VÝPOČTY.**4.1 Volba principu - omezující předpoklady**

V rešerši byl pro malé výkony jako výhodný určen princip s přerušovaným tokem.

Výpočet bude prováděn za těchto předpokladů:

Stroj - manipulátor pracuje jako vkladač s nastaveným výkonem $K=600$ přepravek/hod. Uvažuji maximální rozměry lahve a maximální rozměry přepravky, tj. pro lahev 90/340 a pro přepravku 460*460*380. Přepravky se pohybují ve směru kratší strany přepravky. Dopravník Lahví a dopravník přepravek jsou v uspořádání rovnoběžném.

4.2 Návrh pohybu

Z důvodu nízkého dynamického zatížení mechanismu a plynulosti chodu jsem pro návrh zdvihové závislosti použil sinovou závislost zrychlení.

Vlastní pohyb uchopovací hlavy vyplývá ze dvou nesoučasných pohybů - vertikálního a horizontálního, tedy pohybů, jejichž trajektorie jsou na sebe vzájemně kolmé. Princip vychází z postupnosti těchto pohybů. Schéma pohybu uchopovací hlavy a průběhy zdvihu, rychlosti, zrychlení je naznačen na přiložených schématech.

Čas cyklu určím z nastaveného výkonu stroje 600 př/hod.:

$$T_{kmax} = 3600/K_n = 3600/600 = 6[s]$$

$T_k \leq T_{kmax}$; abych dosáhl nejnižších hodnot rychlostí a zrychlení, volím $T_k = T_{kmax}$.

Dáno: QIv=130[mm]; QIIv=530[mm]; QIIIv=460[mm]; QIVv=60[mm];
Qh=580[mm]; Tk=6[s]; q'=0; q"mvI=2[m/s^2];
q"mvII=2.5[m/s^2]; q"mh=2.5[m/s^2]

Určit: $T_u + T_p = ?$; $q'k = ?$.

Jde o symetrické pohyby, proto $\delta v=2$, $\lambda_a=2\pi$
 $q''mvI=\lambda_a * [QIv / (TvI)^2]$

$$T \vee I = \lambda_{\text{a}*}(Q \vee I / q^{\text{m}} \vee I) = 0.64[\text{s}]$$

$$q' k \vee I = K \vee * (Q \vee I / T \vee I) = 0.41 [m/s]$$

$$T_{\text{vII}} \equiv \lambda_{\text{as}} (Q_{\text{vII}} / q^{\text{avI}}) = 1.29 [\text{s}]$$

$$g'(\text{kyII}) = g_{\text{ky}} * (\text{RIIy}/\text{TyII}) = 0.82 \text{ fm}^{-1}$$

$$T_{\text{vLL}} = \frac{\pi}{2} \ln(\Omega_{\text{vLL}}/\omega^*\omega_{\text{vLL}}) \approx 1.08 \text{ [s]}$$

$$-2 \ln(\text{LL}) - N \times (\text{DILN} / \text{DILL}) = 0.85 [\text{e}/\text{s}]$$

$$T_{\text{eff}} = -46.5 \times (B_0 + 114.7 \times 10^{-3} T) = 9,435^{\circ}\text{C}$$

$$41.514 \cdot 18 = 747.144 \text{ (Total)} - 6.3285 = 740.815$$

Fig. 11. μ (Eq. 6.11) vs. R_{15} .

III-11-11-1001 (T1) 2-245-143

**ac*-cyklu: Tk=Tut+TyI+Tbt+TyII+Tat+TyIII+Tbt+TyIV

$T_{\text{eff}} = T_{\infty} = 2$

$$T_{\text{II}} + T_{\text{III}} = T_{\text{I}} + T_{\text{V}} + T_{\text{VI}} + T_{\text{VII}} + T_{\text{IX}} + T_{\text{X}} + T_{\text{XI}}$$

$T_{\text{tot}}+T_{\text{p}}=6-0.64-1.38-1.31-1.08-1.21=0.43 \approx 0.14 \text{ [s]}$

$$T_0 = T_D = 0.14/3 = 0.047 \text{ [s]}.$$

Na uchopení a puštění lahví mně zbylo 0.07s, což je postačující.

Pro přehlednost jsou vypočtené hodnoty sestaveny do následující tabulky:

Toto jsou maximální velikosti zdvihů, rychlostí a zrychlení v daných úsecích. Aby se daly tyto veličiny zjistit v kterémkoliv okamžiku, zavádějí se následující pojmy a z nich vycházející vztahy (platí pro symetrický pohyb):

bezrozměrný součinitel času: $k=t/T$

bezrozměrný součinitel zdvihu: $kq=k-(1-kvo)/(2\pi)\sin(2\pi k)$

bezrozměrný součinitel rychlosti: $kv=1-(1-kvo)\cos(2\pi k)$

bezrozměrný součinitel zrychlení: $ka=2\pi(1-kvo)\sin(2\pi k)$

kde $kvo=0$.

Potom zdvih, rychlosť a zrychlení v kterémkoliv okamžiku má hodnotu:

$$q=kq*0$$

$$q'=kv*(0/T)$$

$$q''=ka*(0/T^2)$$

Uvedené výpočty jsou podkladem jak pro další výpočty, tak i pro sestavení programu řízení stroje.

Označení

i=I až IV

kvo....bezrozměrný součinitel v místě O (v počátku)

Kn....nastavený výkon stroje

q'0.....počáteční rychlosť

q''mvi,q''mhi....max. zrychl. ve vertikál., horizontál. směru

q'mvi,q'mhi....max. rychl. ve vertikál., horizontál. směru

Qvi.....zdvih ve vertikálním směru

Qhi.....zdvihy v horizontálním směru

t.....okamžitý čas

Tk.....čas cyklu

Tkmax...maximální čas cyklu

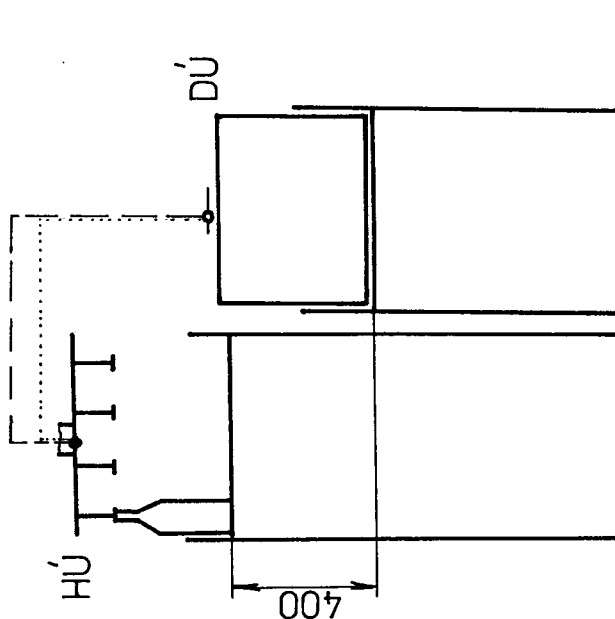
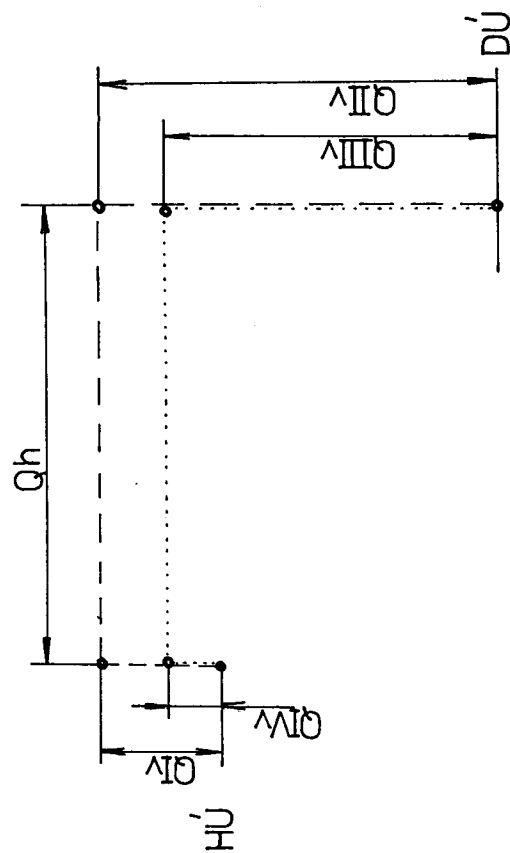
Tu.....čas uchopení lahví

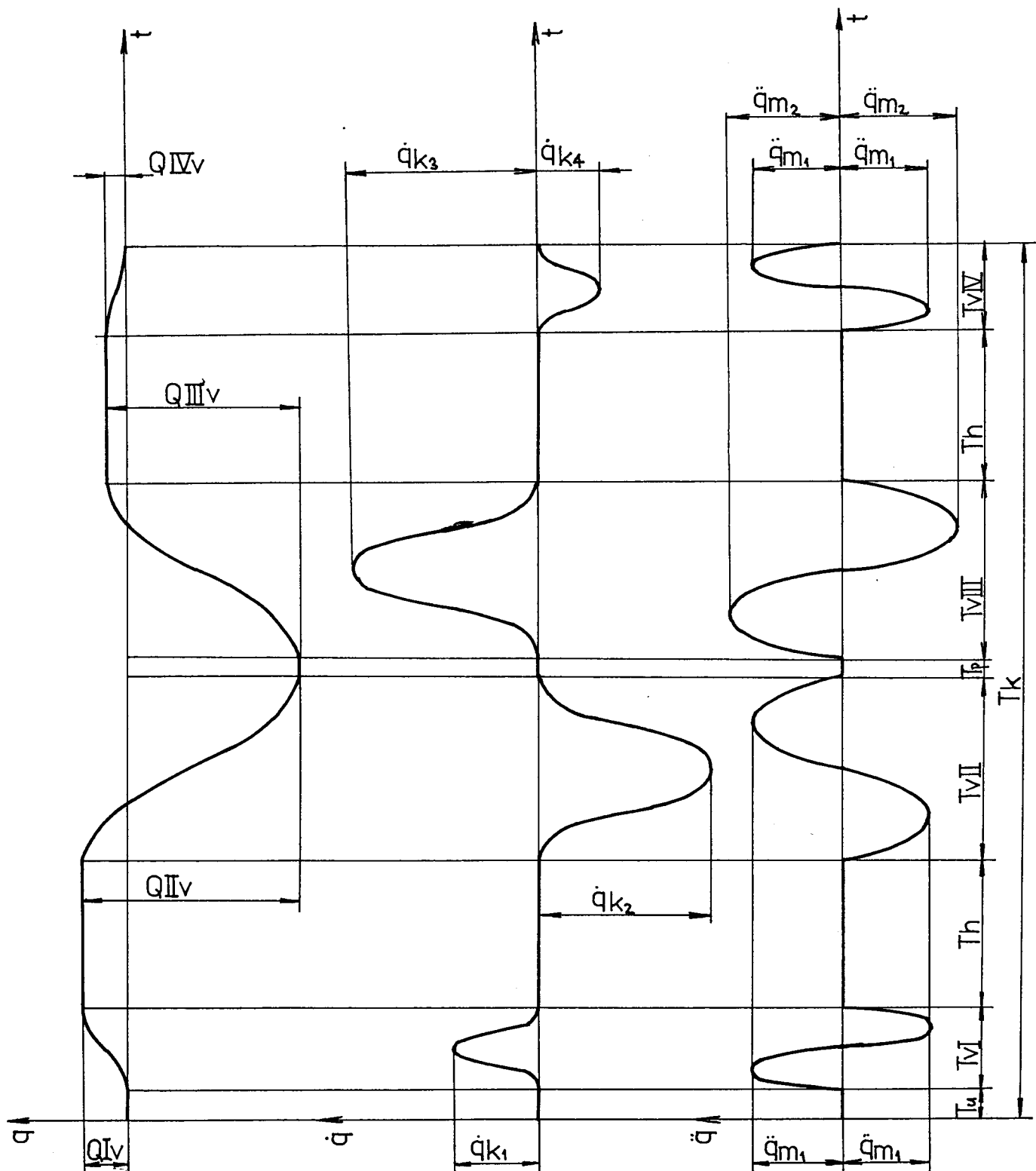
Tp.....čas puštění lahví

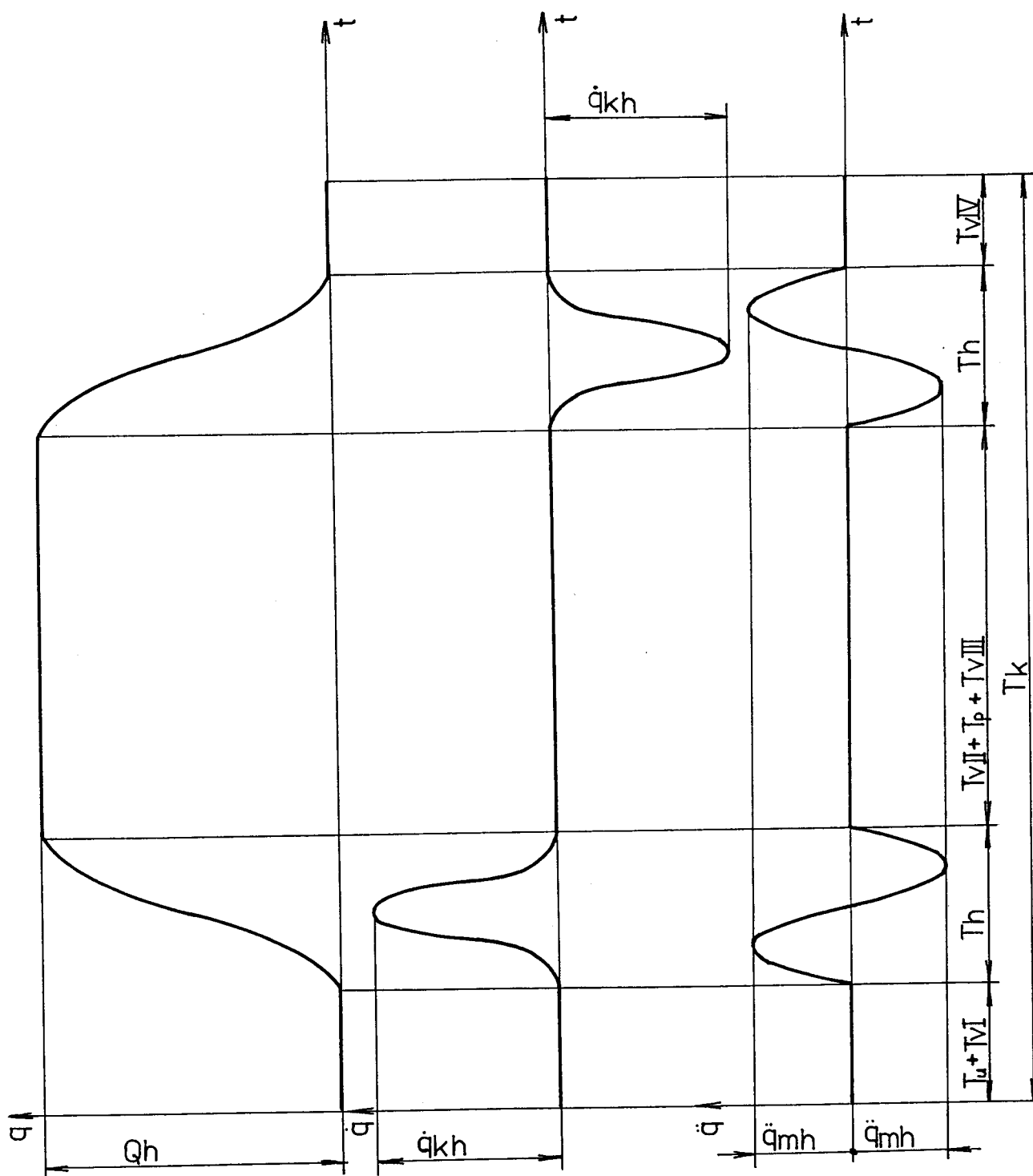
T.....čas pohybu

Ha.....max.hodnota bezrozměrného součinitele zrychlení pro obě části symetrického pohybu

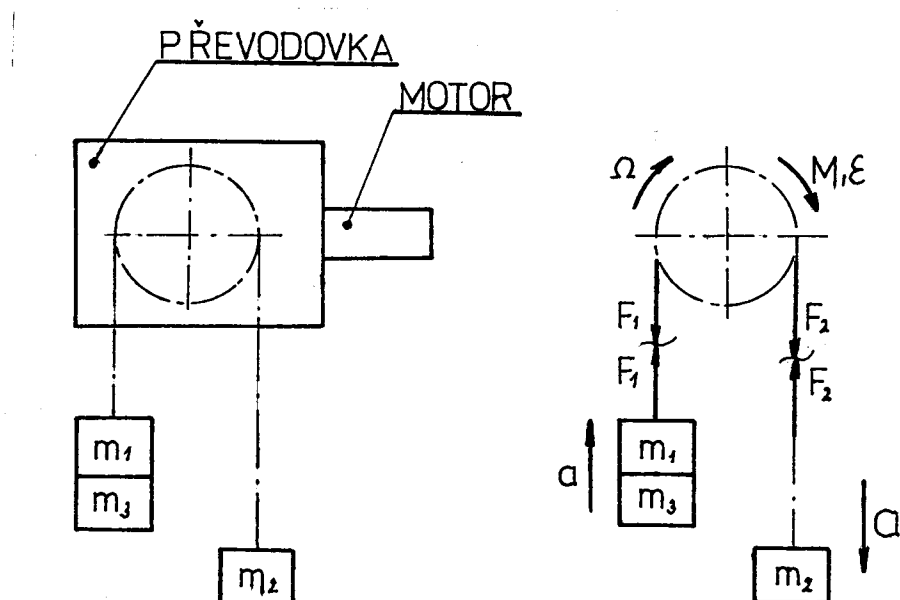
Hv.....max.hodnota bezrozměrného součinitele rychlosti pro obě části symetrického pohybu







4.3 Návrh motoru - rozbor dymaniky



I. Základní vztahy použité pro analýzu.

Pro zrychlený pohyb uchopovací hlavy směrem nahoru s
lahvemi platí: $F_1 - (G_1 + G_3) = (m_1 + m_3) \cdot a$ (1)

F_1tah v laně na straně uchopovací hlavy

m_1, G_1 ...hmotnost, tíha hlavy

m_3, G_3 ...hmotnost, tíha lahví

azrychlení soustavy

Rovnice rovnováhy pro pohyb protizávaží směrem dolů:

$$F_2 - G_2 = -m_2 \cdot a \quad (2)$$

F_2tah v laně na straně protizávaží

m_2, G_2 ...hmotnost, tíha protizávaží

Pro pohyb řetězového kola platí:

$$F_1 \cdot r = M + F_2 \cdot r \quad (3)$$

rpoloměr řetězového kola

Mtočivý moment na řetězovém kole

$$G_1 = m_1 \cdot g$$

$$G_2 = m_2 \cdot g$$

$$G_3 = m_3 \cdot g$$

to se dosadí do (1), (2).

g.....tíhové zrychlení

vztahy (1) a (2) se dají upravit:

$$F_1 = (m_1 + m_3) * (a + g) \quad (4)$$

$$F_2 = m_2 * (g - a) \quad (5)$$

to se dosadí do (3)

Po dosazení do (3):

$$(m_1 + m_3) * (a + g) * r = M + m_2 * (g - a) \quad (6)$$

$$\text{Po úpravě: } (m_1 + m_3 + m_2) * a + (m_1 + m_3 - m_2) * g = M / r \quad (7)$$

Zavedené pojmy:

- setrvačná hmotnost soustavy - projevuje se při zrychleném pohybu (když a není 0): $m(\text{setrv}) = m_1 + m_2 + m_3$

- statická hmotnost soustavy - projevuje se při nehybnosti soustavy nebo jejím rovnoměrném pohybu (když a se rovná 0): $m(\text{stat}) = m_1 + m_3 - m_2$

Statická hmotnost soustavy je mírou její nevyváženosti

$$\text{Vztah (7) se změní na: } m(\text{setrv}) * a + m(\text{stat}) * g = M / r \quad (8)$$

Točivý moment M je vyvíjen aggregátem motor-převodovka.

Aby vznikl, musí motor vyvíjet na hřídeli moment:

a) při urychlování soustavy:

$$M(\text{mot}) = M / (i * \dot{\epsilon}_\eta) + I(\text{mot}) * \epsilon_{ps}(\text{mot}) \quad (9)$$

$M(\text{mot})$ točivý moment na hřídeli motoru při zrychlování soustavy

i.....převodový poměr převodovky

$\dot{\epsilon}_\eta$účinnost převodovky a mechanismu v motorickém režimu

$I(\text{mot})$moment setrvačnosti převodovky a motoru přepočítaný na hřídel motoru

$\epsilon_{ps}(\text{mot})$..úhlové zrychlení motoru

b) při zpomalování soustavy

$$M'(\text{mot}) = (M / i) * \dot{\epsilon}_\eta' + I(\text{mot}) * \epsilon_{ps}(\text{mot}) \quad (10)$$

$M'(\text{mot})$točivý moment na hřídeli motoru při zpomalování
 $\dot{\epsilon}_\eta'$účinnost převodovky a mechanismu v generátorickém režimu

pozn.: Při zpomalování soustavy se mění znaménko zrychlení a, resp. $\epsilon_{ps}(mot)$. Tření mechanismu je zahrnuté v účinnosti převodovky.

Dále platí vztahy:

Pro přímočarou rychlosť postupného pohybu hlavy:

$$v = \Omega_{\text{M}} * r = (\Omega_{\text{M}}(mot) / i) * r \quad (11)$$

vrychlosť pohybu hlavy

Ω_{M} ...úhlová rychlosť řetězového kola

$\Omega_{\text{M}}(mot)$..úhlová rychlosť motoru

Pro zrychlení přímočarého pohybu hlavy:

$$a = \epsilon_{ps} * r = (\epsilon_{ps}(mot) / i) * r \quad (12)$$

ϵ_{ps}úhlové zrychlení řetězového kola

Po dosazení (8) do (9) a (10) dostanu:

$$M(mot) = (1/i * \epsilon_{ta}) * r * (m(setrv) * a + m(stat) * g) + I(mot) * \epsilon_{ps}(mot) \quad (13)$$

$$M'(mot) = (1/i) * \epsilon_{ta}' * r * (m(setrv) * a + m(stat) * g) + I(mot) * \epsilon_{ps}(mot) \quad (14)$$

Dosazením v rovnicích (13) a (14) vztahů (11) a (12) dostanu:

$$\begin{aligned} M(mot) &= (1/(i * \epsilon_{ta})) * r^2 * m(setrv) * (\epsilon_{ps}(mot) / i) + (1/(i * \epsilon_{ta})) * r * \\ &\quad * m(stat) * g + I(mot) * \epsilon_{ps}(mot) = (I(mot) + m(setrv) * r^2 * \\ &\quad * (1/(i^2 * \epsilon_{ta}))) * \epsilon_{ps}(mot) + (m(stat) * r * g) / (i * \epsilon_{ta}) \end{aligned} \quad (15)$$

$$\begin{aligned} \text{Obdobně: } M'(mot) &= (I(mot) + m(setrv) * r^2 * (1/i^2) * \epsilon_{ta}') * \epsilon_{ps}(mot) + \\ &\quad + (m(stat) * r * g * \epsilon_{ta}') / i \end{aligned} \quad (16)$$

Zavedené pojmy:

1) Celkový moment setrvačnosti soustavy přepočítaný na hřídel motoru:

a) při rozběhu soustavy:

$$I(\epsilon_{ps}) = I(mot) + m(setrv) * r^2 * 1/(i^2 * \epsilon_{ta}) \quad (17)$$

b) při brzdění soustavy:

$$I'(\epsilon_{ps}) = I(mot) + m(setrv) * r^2 * (1/i^2) * \epsilon_{ta}' \quad (18)$$

2) Celkový "statický" moment soustavy přepočítaný na hřídel motoru:

a) v motorickém režimu:

$$M(stat) = (m(stat) * r * g) / (i * \epsilon_{ta}) \quad (19)$$

b) v generátorickém režimu:

$$M'(stat) = (m(stat)*r*g*\dot{\epsilon})/i \quad (20)$$

c) při skutečném statickém stavu soustavy ($\Omega_{\text{EGA}}=0, \epsilon_{\text{PS}}=0 \Rightarrow$

$v=0, a=0$) je momentová účinnost zubové převodovky
 $\epsilon_{\text{PS}}=\epsilon_{\text{PS}}=1 \Rightarrow M''(stat) = (m(stat)*r*g)/i \quad (21)$

d) při statickém stavu v případě šnekové převodovky na udržení soustavy v klidu nemusí motor vyvíjet žádný moment, protože převodovka se chová samosvorně.

$$M'''(stat)=0 \quad (22)$$

Vztahy (15) a (16) přejdou v jednotlivých případech do tvaru:

a) $M(mot)=I(\epsilon_{\text{PS}})*\epsilon_{\text{PS}}(mot)+M(stat) \quad (23)$

b) $M'(mot)=I'(\epsilon_{\text{PS}})*\epsilon_{\text{PS}}(mot)+M'(stat) \quad (24)$

c) $M''(mot)=M''(stat) \quad (25)$

d) $M'''(mot)=0 \quad (26)$

Pro pohyb horizontální platí jednodušší vztahy než pro pohyb vertikální, protože jde o jednohmotovou soustavu, kde se projevuje tíha mechanismu. V tomto případě tření nezahrnuje do účinnosti převodovky, protože statická hmotnost soustavy je nulová a tření by "vypadlo" ze vztahu při pohybu ustálenou rychlostí. Znaménko je nutné volit tak, aby tření vždy působilo ve směru pohybu mechanismu.

Dynamická rovnice soustavy má tvar:

$$F=m(horiz)*a+-T \quad (27)$$

T....zahrnuje tření v mechanismu

Pro pohyb řetězového kola platí:

$$M=F*r \quad (28)$$

Točivý moment M je vyvíjen agregátem motor-převodovka. Platí vztahy (9), (10), (11), (12). Po dosazení (27), (28), (12) do (9), (10):

$$M(mot)=(I(mot)+m(horiz)*r^2*(1/(i^2*\dot{\epsilon}))*\epsilon_{\text{PS}}(mot) +-
+-(T*r)/(i*\dot{\epsilon})) \quad (29)$$

$$M'(mot)=(I(mot)+m(horiz)*r^2*(1/i^2)*\dot{\epsilon}^2)*\epsilon_{\text{PS}}(mot) +-
+-(T*r)/i*\dot{\epsilon} \quad (30)$$

Podobně jako v případě vertikálního pohybu zavedeme pojem celkového momentu setrvačnosti soustavy přepočteného na hřídel motoru:

a) při rozběhu soustavy:

$$I(\text{eps}) = I(\text{mot}) + m(\text{horiz}) * r^2 * i / (\eta * \eta_a) \quad (31)$$

b) při brzdění soustavy:

$$I'(\text{eps}) = I'(\text{mot}) + m(\text{horiz}) * r^2 * (1/i) * \eta_a \quad (32)$$

Zavedem také pojem celkového statického momentu soustavy přepočteného na hřídel motoru:

a) při rozběhu soustavy nebo jejím rovnoměrném pohybu (motorický režim):

$$M(\text{stat}) = (T * r) / (i * \eta_a) \quad (33)$$

b) při zpomalování soustavy:

$$M'(\text{stat}) = ((T * r) / i) * \eta_a \quad (34)$$

Vztahy (29), (30) přejdou potom do tvaru:

$$a) M(\text{mot}) = I(\text{eps}) * \text{eps}(\text{mot}) + -M(\text{stat}) \quad (35)$$

$$b) M'(\text{mot}) = I'(\text{eps}) * \text{eps}(\text{mot}) + -M'(\text{stat}) \quad (36)$$

$$\text{Přitom tření: } T = f * m(\text{horiz}) * g \quad (37)$$

f... koeficient tření

II. Číselné výpočty

Vertikální pohyb

poháněcí výkon: $P = (F * v) / (1000 * \eta_a)$ [kW]

$m(\text{setrv}) = m_1 + m_2 + m_3 = 290$ [kg]

$m(\text{stat},c) = m_1 + m_3 - m_2 = 150$ [kg] celková statická hmotnost

$v(\text{max},v) = q' k v III = 0.85$ [m/s]

$a = q'' m v III = 2.5$ [m/s²]

$m(\text{stat},l) = 10$ [kg] nevyváženosť od lahvi

$F = m(\text{setrv}) * a + m(\text{stat},l) * g = 823.1$ [N]

$P = (F v(\text{max},v)) / (1000 * \eta_a) = (823.1 * 0.85) / (1000 * 0.76) = 0.921$

nejbližší vyšší výkon motoru je $P = 1.1$ [kW]

Tomu odpovídá motor 2APB 90S-4

parametry: $P = 1.1$ [kW]; $n = 1380$ [1/min]; $\eta_a = 0.76$; $M_z/M_n = 2.0$

potřebný převod převodovky:

$v(\text{max}) = (2 * \pi * n(\text{mot}) * r) / (60 * i) \Rightarrow i = (2 * \pi * n(\text{mot}) * r) / (60 * v(\text{max}))$

$i = (2 * \pi * 1380 * 0.07) / (60 * 0.85) = 11.9$

Nejbližší převod převodovky $i = 10$

zpětná kontrola $v_{(max)}$:

$$v_{(max)} = (2\pi n_{(mot)} \cdot r) / (60 \cdot i) = 1.01 \text{ [m/s]}$$

Z tohoto zjištění vyplývá, že $v_{(max)} > q^1 kvIII$.

Proto se motor nebude rozbíhat na $v_{(max)}$, ale pouze na $q^1 kvIII$, tedy nebude dosahovat maximálních otáček.

Sumární moment setrvačnosti soustavy při rozběhu je:

$$I_{(eps)} = I_{(mot)} + m_{(setrv)} \cdot r^2 \cdot i^2 \cdot \epsilon_{ta}$$

$$I_{(eps)} = 0.008 + 290 \cdot 0.07 \cdot 0.07 \cdot i^2 / (100 \cdot 0.92) = 0.023 \text{ [kg/m}^2]$$

Pro požadované zrychlení $a=2.5 \text{ [m/s}^2]$ je potřebné úhlové zrychlení na hřídeli motoru:

$$\epsilon_{ps(mot)} = (a \cdot i) / r = 357 \text{ [rad/s}^2]$$

Statický moment při rozběhu je:

$$M_{(stat)} = (m_{(stat,1)} \cdot r \cdot g) / (i \cdot \epsilon_{ta}) = 0.746 \text{ [Nm]}$$

Celkový potřebný moment motoru při rozběhu, tedy záběrový moment, je:

$$M_{(mot)} = I_{(eps)} \cdot \epsilon_{ps(mot)} + M_{(stat)} = 8.957 \text{ [Nm]}$$

skutečné parametry motoru:

$$M_z / M_n = 2$$

$$M_n = P / (2\pi n_{(mot)}) = 1100 / ((2\pi \cdot 1380) / 60) = 7.6 \text{ [Nm]}$$

$$M_z = 2M_n = 2 \cdot 7.6 = 15.2 \text{ [Nm]}$$

$M_z \dots$ max. skutečný záběrový moment motoru

$M_n \dots$ nominální moment

$$M_z > M_{(mot)}$$

Motor je dostatečně dimenzován.

Pro vertikální pohyb požadovaným parametry odpovídá elektropřevodovka TSN 030 444 s patkou, převodem $i=10$ a elektromotorem 2APB 90S-4, výrobce ZTS Košice.

H o r i z o n t á l n í p o h y b

Poháněcí výkon: $P = (F \cdot v) / (1000 \cdot \epsilon_{ta}) \text{ [kW]}$

$\epsilon_{ta} \dots$ účinnost motoru

$$v_{(max)} = q^1 kh = 0.96 \text{ [m/s]}$$

$$a = q^{11} mh = 2.5 \text{ [m/s}^2]$$

hmotnost horizontálního pojazdu, uchopovací hlavy a lahví:

$m(\text{horiz})=61 \text{ [kg]}$

$F=m(\text{horiz})*a=152.5 \text{ [N]}$

$P=(152.5*0.96)/(1000*0.675)=0.216 \text{ [kW]}$

Nejbližší vyšší výkon motoru je $P=0.25 \text{ [kW]}$

Tomu vyhovuje motor 2APB 63-2.

Parametry: $n=2830 \text{ [1/min]}$; $Mz/Mn=2.15$; $P=0.25 \text{ [kW]}$; $\eta=0.675$
potřebný převod převodovky:

$i=(2\pi*n(\text{mot})*r)/(60*v(\text{max}))=(2\pi*2830*0.06)/(60*0.96)=18.5$

Nejbližší převod převodovky $i=18.5$, to odpovídá návrhu. Proto zpětná kontrola $v(\text{max})$ je zbytečná. Požadovaný převod přímo odpovídá převodu převodovky. Motor se tedy bude rozbíhat na maximální otáčky.

Sumární moment setrvačnosti soustavy při rozběhu je:

$I(\text{eps})=I(\text{mot})+m(\text{horiz})*r^2*i/(i^2*\eta)$

$I(\text{eps})=0.0012+61*0.06*0.06*1/(18.5*18.5*1)=0.00184 \text{ [kg/m}^2]$

Pro požadované zrychlení $a=2.5 \text{ [m/s}^2]$ je potřebné úhlové zrychlení na hřídeli motoru:

$\text{eps}(\text{mot})=(a*i)/r=(2.5*18.5)/0.06=771 \text{ [rad/s}^2]$

statický moment při rozběhu je:

$M(\text{stat})=(T*r)/(i*\eta)=(f*m(\text{horiz})*g*r)/(i*\eta)$

$f=0.1$

$M(\text{stat})=(0.1*61*9.81*0.06)/(18.5*1)=0.194 \text{ [Nm]}$

Celkový potřebný moment při rozběhu, tedy záběrový moment je:

$M(\text{mot})=I(\text{eps})*\text{eps}(\text{mot})+M(\text{stat})=0.00184*771+0.194=1.6 \text{ [Nm]}$

Skutečné parametry motoru:

$Mz/Mn=2.15$

$Mn=P/(2\pi*n(\text{mot}))=(250*60)/(2\pi*2830)=0.84 \text{ [Nm]}$

$Mz=2.15*Mn=2.15*0.84=1.8 \text{ [Nm]}$

$Mz > M(\text{mot})$

Motor je dostatečně dimenzován.

Pro horizontální pohyb požadovaným parametry odpovídá trojfázový asynchronní motor 2APB 63-2 ve spojení s dvoustupňovou planetovou převodovkou s celkovým převodem $i=18.5$; $n=2830 \text{ [1/min]}$; $P=0.25 \text{ [kW]}$; $i(I)=5.6$; $i(II)=3.3$.

Výrobce: AGRA Přelouč.

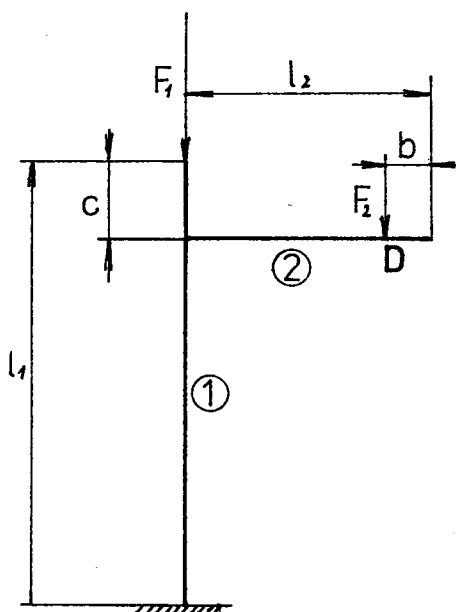
Podle vyjádření výrobců jsou oba pohony schopny dodržet předepsané parametry.

5. PEVNOSTNÍ VÝPOČTY

5.1 Výpočet sloupu a ramena - určení průhybu.

Dáno:

$$m(ph)=290 \text{ [kg]}; \quad m(pv)=40 \text{ [kg]}; \quad m(vv)=61 \text{ [kg]}; \\ a=2.5 \text{ [m/s}^2]; \quad g=9.81 \text{ [m/s}^2]$$



$$m(c)=m(ph)+m(pv)-m(vv)=269 \text{ [kg]}$$

$$F1(\text{stat})=m(c)*g=2639 \text{ [N]}$$

$$F2(\text{stat})=m(vv)*g=598 \text{ [N]}$$

$m(ph)$...hmotnost pohybujících se hmot

$m(pv)$...hmotnost vertikálního pojezdu

$m(vv)$...hmotnost vertikálního pojezdu

Předpoklad:

Při výpočtu redukuji hmoty na rameni v bodě D působením síly $F2$.

To jsou maximální statická zatížení mechanismu. Do následujícího výpočtu zahrneme i dynamické účinky pomocí součinitele $K(\text{dyn})=1+a/g$.

a ...zrychlení

g ...těžové zrychlení

Tedy $K(\text{dyn})=1.25$

setrvačné síly:

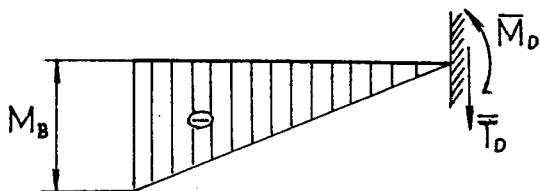
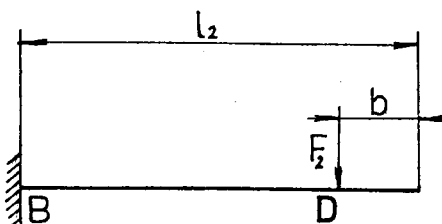
$$F_1=F_1(\text{stat}) \cdot K(\text{dyn}) = 3299 = 3300 \text{ [N]}$$

$$F_2=F_2(\text{stat}) \cdot K(\text{dyn}) = 750 \text{ [N]}$$

5.1.1 Výpočet posunutí bodu D

Na posunutí bodu bude mít vliv jak natočení sloupu, tak i natočení ramena. Celkové posunutí bodu D získám superpozicí dílčího posunutí bodu B sloupu a posunutí bodu D ramena. Výpočet je proveden Mohrovou metodou.

I. Určení průhybu ramene (člen 2) v bodě D



$$F_2=750 \text{ [N]}$$

$$l(2)=1125 \text{ [mm]}$$

$$b=200 \text{ [mm]}$$

Počet stupňů volnosti $i=0$

$$\bar{T}(D)-0.5 \cdot M(B) \cdot (l(2)-b)=0$$

$$\bar{M}(D) - 2/3 * (l(2) - b) * 0.5 * M(B) * (l(2) - b) = 0$$

Z toho vyplývá:

$$\bar{T}(D) = 0.5 * M(B) * (l(2) - b)$$

$$\bar{M}(D) = 1/3 * (M(B)) * (l(2) - b)^2$$

$$M(B) = F_2 * (l(2) - b) = 693750 \text{ [Nmm]}$$

Posunutí bodu D od deformace ramena ve směru působení síly F2:

E.....Yangův modul pružnosti v tahu

$I(r)$moment setrvačnosti sloupu k dané hlavní centrální ose nosník je z profilu TR4HR 100*100*6

$$I(r) = 3.208 * 10^6 \text{ [mm}^4]$$

$$E = 2.1 * 10^5 \text{ [MPa]}$$

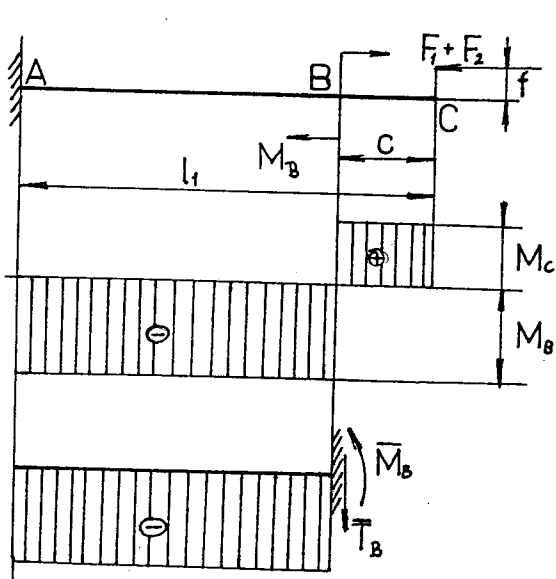
Posunutí bodu D od deformace ramena ve směru působení síly F2:

$$y(r) = \bar{M}(D) / (E * I(r)) = (M(B) * (l(2) - b)^2) / (3 * E * I(r)) = 0.294 \text{ [mm]}$$

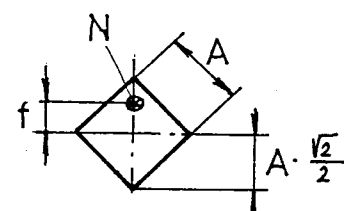
natočení ramena:

$$\varphi(r) = \bar{T}(D) / (E * I(r)) = (M(B) * (l(2) - b)) / (2 * E * I(r))$$

II. Určení průhybu sloupu (člen 1) v bodě B



$$f + F_2 = N$$



$$M(B) = 693750 \text{ [Nmm]}$$

$$l(1) = 1950 \text{ [mm]}$$

$$c = 400 \text{ [mm]}; f = r = 70 \text{ [mm]}$$

$$M(C) = (F_1 + F_2) * f = N * f$$

N...tlaková síla

f...rameno působící síly N

Po dosazení vyjde:

$$M(C) = 283500 \text{ [Nmm]}$$

$$\bar{T}(B) = (M(B) - M(C)) * (l(1) - c)$$

$$\bar{M}(B) = 0.5 * (l(1) - c)^2 * (M(B) - M(C))$$

Posunutí bodu B od deformace sloupu ve směru kolmém na neutrální osu:

nosník je z profilu TR 4HR 150*150*12

$$I(s) = 20.06 \cdot 10^6 [\text{mm}^4]$$

$$y(s) = \bar{M}(B) / (E \cdot I(s)) = ((M(B) - M(C)) * (1(1) - c)^2) / (2 \cdot E \cdot I(s))$$

Po dosazení vyjde: $y(s) = 0.12 [\text{mm}]$

E...Yangov modul pružnosti v tahu

$I(s)$...moment setrvačnosti průřezu sloupu k dané hlavní centrální ose

$$\text{Natočení sloupu } f(s) = \bar{T}(B) / (E \cdot I(s)) = ((M(B) - M(C)) * (1(1) - c)) / (E \cdot I(s))$$

Sloup je též namáhan tlakem, proto musím spočítat ještě posunutí $y(N)$ způsobené silou N:

$$y(N) = -(N * (1(1) - c)) / (E \cdot S(s))$$

N...tlaková síla

S(s)...plocha průřezu sloupu

Poznámka:

Znaménko (-) znamená, že jde o tlak.

$$y(N) = -4.7 \cdot 10^{-3} [\text{mm}]$$

Posunutí vlivem síly N je tak nepatrné, že je zanedbatelné. Uvažuji, že posun bodu B horizontální je shodný s posunem bodu D ve směru vertikálním vlivem deformace sloupu. Tedy celkové posunutí bodu D ve směru působení síly F2 (ve směru vertikálním) je:

$$y(c) = y(s) + y(r) + y(N) = y(s) + y(r) = 0.4 [\text{mm}]$$

y(N)...pro svoji malou hodnotu zanedbáno

Poznámka:

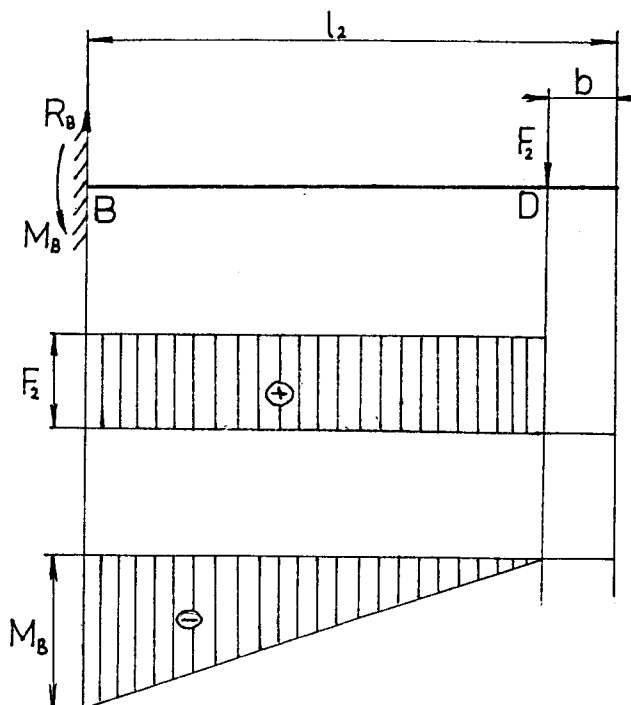
Pro zestrojení výpočtu jsem uvedl pouze kontrolu průhybu pro stanovený průřez nosníku. V tomto případě velice malých průhybů je nosník určitě z hlediska pevnosti silně předimenzovaný. Jelikož velice malé posunutí bodu D je z hlediska funkce mechanismu podstatné, určí se minimální průřez nosníků, tj. ramena a sloupů, ze vztahu pro výpočet průhybu, tzn. že mám daný průhyb a z něho zjistím rozměry nosníku. Z důvodu postupu při řešení nosníku nyní uvedu zjednodušený pevnostní výpočet, který ale v důsledku malého

průhybu není pro řešení podstatný.

Skutečný celkový posun bude větší o provozní vůle v mechanismu, proto jsem se snažil "ušetřit" na posunu $y(c)$, tj. celkovém posunutí bodu D vlivem silových účinků.

5.1.2 Pevnostní výpočet sloupu a ramena s ohledem na setrvačné síly.

I. Kontrola ramena.



- rameno je namáhané prostým ohyblem

- počet stupňů volnosti $i=0$

a) rovnice rovnováhy

$$R(B) - F_2 = 0$$

$$M(B) - F_2 * (l_2 - b) = 0$$

z toho vyplyná:

$$R(B) = F_2 = 750 \text{ [N]}$$

$$M(B) = F_2 * (l(2) - b) = 693750 \text{ [Nm]}$$

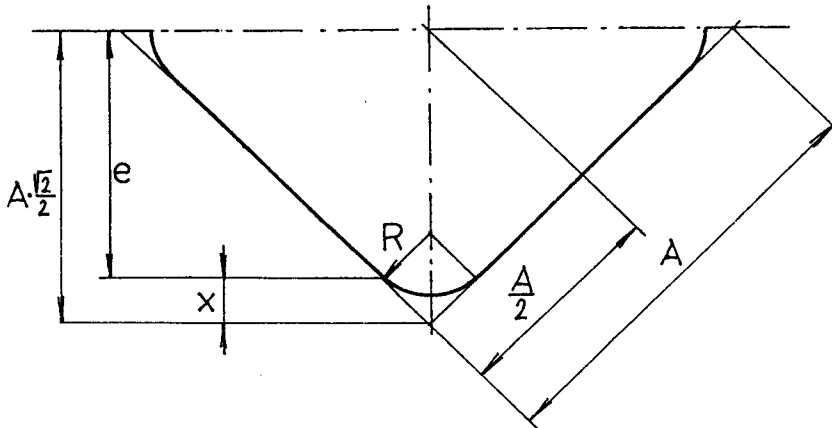
Místo maximálního momentu je ve veknutí /M(B)/ = M(max).

b) kontrola napětí v průřezu

materiál 11 320.0, Re=170 [MPa] k=2

dovolené napětí sigma(Do)=Re/k=85 [MPa]

Na obr. je 1/2 profilu nosníku. Z něho určíme míru e:



$$(\sqrt{2}/2) * A - x = e$$

$$x = R * \sqrt{2} - R = R * (\sqrt{2} - 1)$$

$$e = (\sqrt{2}/2) * A - R * (\sqrt{2} - 1)$$

$$e = 100 * \sqrt{2}/2 - 8 * (\sqrt{2} - 1) = 67,4 \text{ [mm]}$$

$$\sigma(\circ) = (M(\circ) / I(r)) * e$$

$$\sigma(\circ) = (693750 / 3,208 * 10^6) * 67,4$$

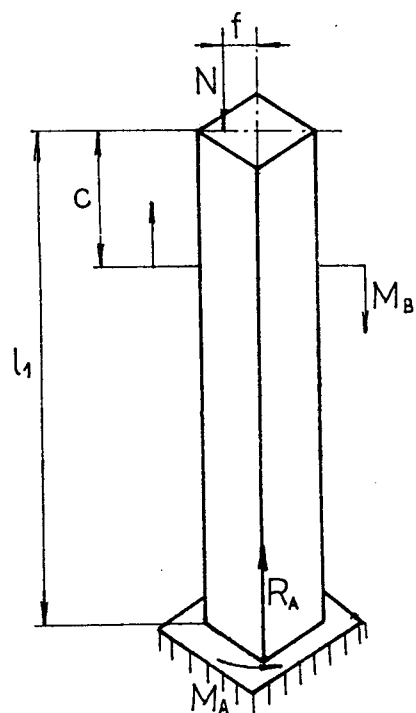
$$\sigma(\circ) = 15 \text{ [MPa]}$$

$\sigma(\circ)$... ohýbové napětí

$M(\circ)$ ohýbové moment

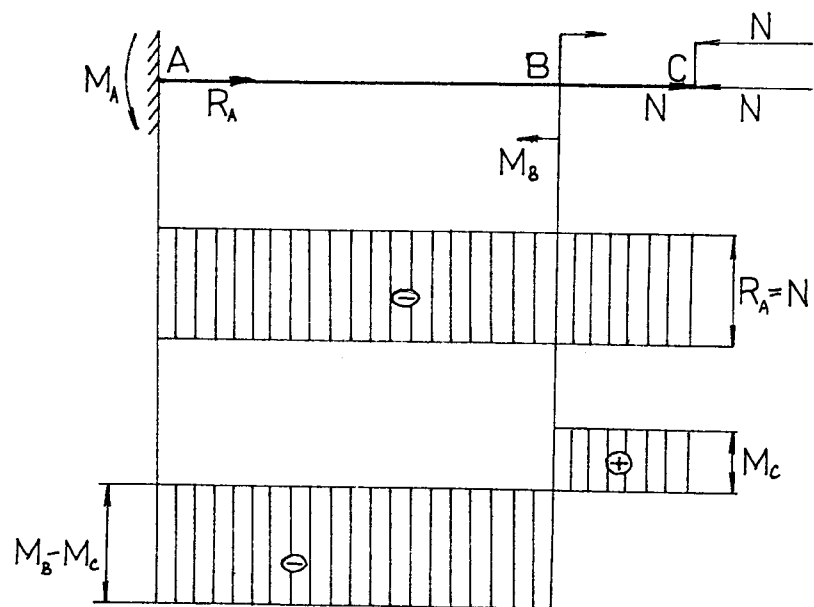
$I(r)$ moment setrvačnosti průřezu ramena

II. Kontrola sloupu.



$N=F_1+F_2=4050 \text{ [N]}$; $l_1(l)=1950 \text{ [mm]}$; $c=400 \text{ [mm]}$; $f=70 \text{ [mm]}$;
 $M(B)=693750 \text{ [Nm]}$;

Sloup je namáhán kombinovaným namáháním ohybu a tlaku.



Počet stupňů volnosti $i=0$.

a) rovnice rovnováhy:

$$R(A)-N=0$$

$$M(A)-M(B)+N*f=0$$

Z toho vyplývá:

$$R(A)=N=4050 \text{ [N]}$$

$$M(A)=M(B)-N*f=410250 \text{ [Nm]}$$

b) kontrola napětí v průřezu:

síla N způsobí tlakové napětí $\sigma(t)=-N/S(s)$

$$\sigma(t)=-0.6 \text{ [MPa]}$$

$$S(s)=6.418*10^4 \text{ [mm}^2]$$

$S(s)$... Plocha průřezu sloupu

Nebezpečné místo je v místě B:

$$M(o)=M(B)-M(C)+M(C)=M(B)$$

$$e=A*\sqrt{2}/2-R*(\sqrt{2}-1)=99.4 \text{ [mm]}$$

ohybové napětí $\sigma(o)=M(B)/I(s)*e$

$$\sigma(o)=3.44 \text{ [MPa]}$$

$$I(s)=20.06*10^4 \text{ [mm}^4]$$

$$\sigma(max)=|\sigma(t)| + \sigma(o) = 4 \text{ [MPa]}$$

materiál: 11 320.0, $k=2$, $\sigma(D)=Re/k=85 \text{ [MPa]}$

$\sigma(max) < \sigma(D)$

$\sigma(t)$... tlakové napětí

$\sigma(o)$... ohybové napětí

$\sigma(max)$... maximální napětí

$\sigma(D)$... dovolené napětí

Re ... mez kluzu

Sloup je z hlediska pevnosti předimenzovaný.

Kromě pevnostní podmínky musí být splněna i podmínka stability:

Jde o první úlohu vzpěru, proto:

$$l(kr)=2l=2*(l(1)-c)=2*1550=3100 \text{ [mm]}$$

štíhlosť $\lambda=l(kr)/i=55$

$$i=55.9 \text{ [mm]}$$

$l(kr)$... kritická délka

i...poloměr setrvačnosti průřezu

$\lambda(m) = 90$

$\lambda(\lambda(m)) \dots$ jde o nepružný vzpěr

$\lambda(m) \dots$ mezní štíhlost

$F(kr) = \sigma(kr) * S(s)$

$\sigma(kr) = a - b * \lambda + d * \lambda^2$

$\sigma(kr) \dots$ kritické napětí

a, b, d ... součinitelé závislé na materiálu

$F(kr) \dots$ kritická síla

$a = 304 \text{ [MPa]}; \quad b = 1.12 \text{ [MPa]}; \quad d = 0$

Potom platí:

$F(kr) = (a - b * \lambda^2) * S(s) \quad S(s) = 6.418 * 10^{-11} \text{ [mm}^2]$

$F(kr) = 1556 \text{ [kN]}$

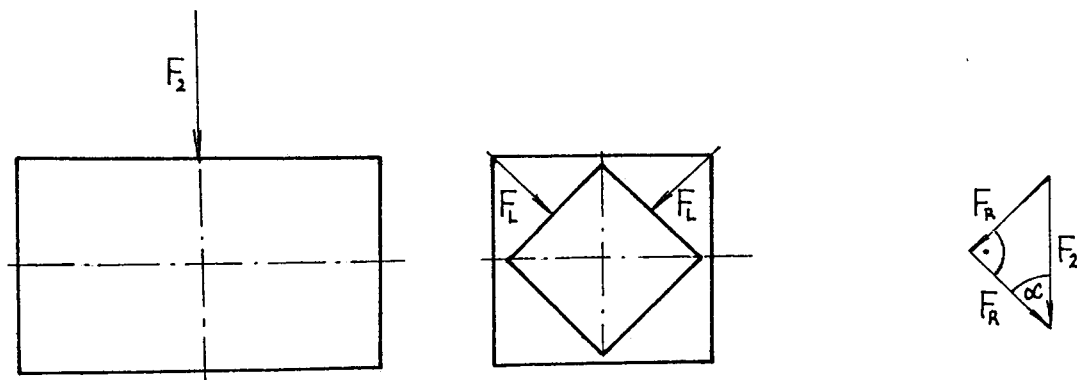
$N = 4 \text{ [kN]}$

$N < F(kr) \dots$ ke vzpěru vůbec nedojde

5.2 Návrh pojazdových kol

H o r i z o n t á l n í p o j e z d

Pojezd má celkem osm kol. Pro výpočet jsou dôležitá horní čtyři kola, protože jsou nejvíce namáhána. Dolní kola jsou vodící.



$F(L) \dots$ síla na jedno ložisko

$F(R) \dots$ síla působící na dvě ložiska

alfa...úhel odklonu F(L) od F(R)

F(2)...síla zahrnující vliv uchopovací hlavice, lahví, horizontalního pojezdu s ohledem na setrvačné účinky

$$\sin(\alpha)=F(R)/F(2)$$

$$F(R)=F(2)*\sin(\alpha)=750*\sin(45^\circ)=530 \text{ [N]}$$

$$F(L)=F(R)/2=530/2=265 \text{ [N]}$$

Poznámka:

Síla od kroutícího momentu je zanedbatelná, proto jí ve výpočtu vůbec neuvažuji.

Otáčky kola - ložiska jsou:

$$v=q^1(kh)=0.96 \text{ [m/s]}$$

R(L)...poloměr ložiska (6002)

n(L)...maximální otáčky ložiska

omega...úhlová rychlosť

$$\omega=2\pi n(L)=v/R(L)$$

$$n(L)=v/(2\pi R(L))$$

Po dosazení vychází: $n(L)=9.55 \text{ [1/s]}$

Výpočet ekvivalentního dynamického zatížení:

v=1.2 ...otáčí se vnější kroužek

p=3...bodový styk

X=1...pouze radiální síla

F(e)...ekvivalentní dynamické zatížení

$$F(e)=X*v*F(L)=318 \text{ [N]}$$

Zvoleno ložisko 6002.

parametry:

$$d=15 \text{ [mm]}; D=32 \text{ [mm]}; B=9 \text{ [mm]}; C=4300 \text{ [N]}$$

Základní trvanlivost(v hod.):

$$L(h)=(C/F(e))P*10^6/(3600*n(L))$$

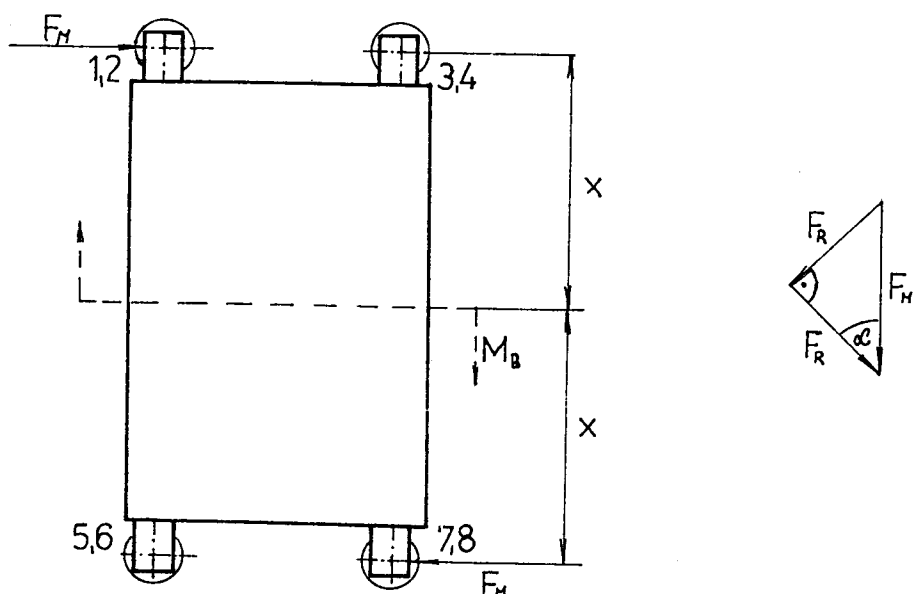
C...dynamická únosnost

Po dosazení vychází: $L(h)=71914 \text{ [hod]}$

Ložisko má vysokou trvanlivost. Použil jsem ho z konstrukčních důvodů.

Vertikální pojezd

Pojezd má celkem osm kol. Nejvíce namáhána jsou kola 1,2,7,8, protože zachycují moment $M(B)$, který jsem nahradil silovou dvojicí $F(M) - F(M)$. Na každé kolo též působí síla způsobená kroutícím momentem na řetězovém kole $F(k)$. Silové působení je naznačeno na následujícím obrázku:



α ...úhel odklonu síly $F(R)$ od $F(M)$

$F(M) - F(M)$...silová dvojice nahrazující působení $M(B)$

1 až 8...čísla kol

x...vzdálenost působiště momentu

$x=0.19$ [m]

$F(k)=F/n$

F ...síla od kroutícího momentu (síla vychází z rovnice rovnováhy na řetězovém kole vertikálního pojezdu)

$F(k)$...síla od kroutícího momentu působící na jedno kolo

$n=8$...odpovídá počtu kol

$F(k)=823/8=103$ [N]

moment $M(B)=693.75$ [Nm]

$F(R)=F(M)*\sin(\alpha)$

$F(M)=M(B)/x=693.75/0.19=3651$ [N]

$F(R)=3651*\sin(45^\circ)=2582$ [N]

$F(R)$...síla na jedno ložisko od momentu $M(B)$

$F(L)$... celková síla na jedno ložisko

$$[F(L)]^2 = [F(k)]^2 + [F(R)]^2$$

$$F(L) = \sqrt{[F(k)]^2 + [F(R)]^2} = 2584 \text{ [N]}$$

Otáčky kola-ložiska jsou:

$$n(L) = v / (2\pi \cdot R(L))$$

$$R(L) = 0.036 \text{ [m]} \dots \text{ložisko 6404}$$

$$v = q' (\nu_{kIII}) = 0.85 \text{ [m/s]}$$

$$\text{Po dosazení vychází: } n(L) = 3.75 \text{ [1/s]}$$

Zvoleno ložisko 6404

Parametry:

$$d=20 \text{ [mm]}, D=72 \text{ [mm]}, B=19 \text{ [mm]}, C=24000 \text{ [N]},$$

$$F(e)=X \cdot V \cdot F(L)$$

$X=1$... pouze radiální zatížení

$V=1,2$... otáčí se vnější kroužek

$$\text{Po dosazení vychází: } F(e) = 3101 \text{ [N]}$$

Základní trvanlivost v hodinách:

$$L(h) = (C/F(e)P) * 10^6 / (3600 \cdot n(L))$$

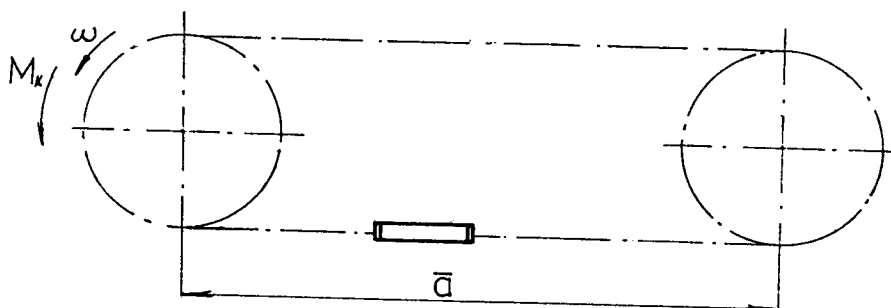
$$\text{Po dosazení vychází: } L(h) = 34400 \text{ [hod]}$$

Ložisko vyhovuje. Dynačení ve vzorcích odpovídá návrhu kol horizontálního pojedzdu. Otáčky $n(L)$ nejsou konstantní, ale jsou to maximální otáčky odpovídající maximálním rychlostem.

Pro návrh je tento výpočet postačující.

5.3 VÝPOČET ŘETĚZOVÉHO PŘEVODU

Horizontální řetěz



- přenášený výkon $P=0.25 \text{ [kW]}$

- otáčky hnacího kola $n(1)=v/(2\pi r(H))$

$r(H)$...poloměr roztečné kružnice řetězového kola na hřídeli převodovky

v...maximální rychlosť \dot{q} (kh)

$r(H)=0.06 \text{ [m]}$; $v=0.96 \text{ [m/s]}$

Po dosazení vyjde: $n(1)=2.55 \text{ [1/s]}$

Z důvodu rovnoměrného zatížení horizontálního pojezdu silou rovnoběžnou s vedením jsem zvolil převod $i=1$. Z toho vyplývá, že rozměry obou řetězových kol budou totožné.

- | | |
|-----------------|----------------------------|
| - hnací stroj | elektromotor s převodovkou |
| - hnací stroj | horizontální pojezd |
| - mazání | tukem |
| - druh řetězu | válečkový dle ČSN 02 3311 |
| - vzdálenost os | |
| řetězových kol | $a=1050 \text{ [mm]}$ |

a) návrh počtu zubů z a rozteče t

$$D(t)=2*r(H)=0,12 \text{ [m]}$$

$$D(t)=t*x$$

Zvolený počet zubů: $z=25$

$$x=1/(\sin(180^\circ/z))=7,9787$$

$D(t), r(H)$...průměr, poloměr roztečné kružnice

x.....koeficient závislý na počtu zubů

t.....zubová rozteč

Po úpravě a dosazení vyjde:

$$t=D(t)/x=15.04 \text{ [mm]}$$

b) volba řetězu

Následující hodnoty součinitelů jsou odečteny z grafů v literatuře (9):

$$Y=1.8; y=0.784; K(1)=1.11; K=K(1)*y=0.87024; f_1=1; m_y=0.3;$$

Potom diagramový výkon bude:

$$P(d)=P/(K*f_1*m_y)=0.958 \text{ [kW]}$$

Z diagramu se určí pro vypočtený $P(d)$ a otáčky n velikost řetězu:

řetěz 10B-1 ČSN 02 3311 (jednořadý řetěz)

hlavní údaje:

$t=15.875 \text{ [mm]}$; $S=67 \text{ [mm}^2]$; $F(pt)=23 \text{ [kN]}$; $m'=0.95 \text{ [kg/m]}$;
součinitel vzdálenosti os řetězových kol r_0 :
 $r_0=1.1$

korigovaný diagramový výkon:

$$P(d)=P(d)/r_0=0.958/1.1=0.871 \text{ [kW]}$$

Z diagramu lze odečíst pro korigovaný výkon stejný typ řetězu
jako v případě určení dle $P(d)$.

c) skutečný průměr roztečné kružnice obou řetězových kol je
totožný:

$$\text{Počet zubů } z(1)=z(2)=25$$

$$D(t)=t*x=15.875*7.9787=126.662 \text{ [mm]}$$

Skutečný průměr je větší než uvažovaný průměr při
předcházejícím návrhu. Tedy dosažená rychlosť φ (kh) by byla
také větší. To se dá vyřešit tím, že se motor nebude rozbíhat
na maximální otáčky, ale jen na otáčky odpovídající maximální
rychlosti.

d) kontrola navrženého řetězu

$$v=0.96 \text{ [m/s]}$$

$$F=F/v=250/0.96=260 \text{ [N]}$$

$$F(c)=m'*v^2=0.95*0.96^2=0.876 \text{ [N]}$$

Tažná síla vyvolaná odstředivou silou je zanedbatelná.

Kontrola na otláčení:

$$P(p)=(F+F(c))/S=3.88 \text{ [MPa]}$$

$$z \text{ tabulek: } p=28.08 \text{ [MPa]}; \lambda=\lambda(1)*y=0.95*0.784=0.7448$$

$$P(d)=p*\lambda=20.9 \text{ [MPa]}$$

$$P(p) < P(d)$$

řetěz vyhovuje

Kontrola na tah:

$$k(s)=F(pt)/(F+F(c))=88 \rightarrow 7$$

řetěz vyhovuje

$$k(d)=k(s)/Y=48 \rightarrow 5$$

řetěz vyhovuje

V pevnosti je značná rezerva.

e) výpočet počtu článků a vzdálenosti os

Počet článků:

$$x = (2*a)/t + 2*(z/2) = (2*1050)/15.875 + 25 = 157.28 = 158$$

vzdálenost os:

$$a = ((x-z)*t)/2 = 1055.7 \text{ [mm]}$$

skutečný počet článků $x(\text{sk}) = 158 - k$

$k \dots$ vzdálenost od obou uchycení řetězu k pojezdu - o tu je řetěz kratší - je vyjádřená počtem článků
 $k = 11$

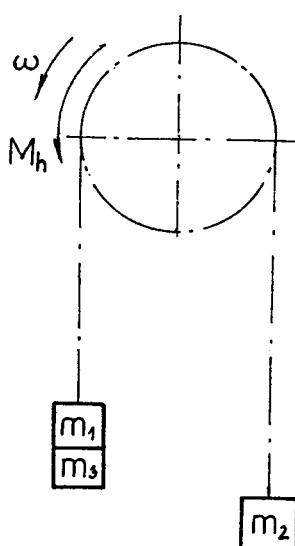
Po dosazení vyjde:

$$x(\text{sk}) = 158 - 11 = 147 \text{ článků}$$

f) označení řetězu

řetěz 147 článků 10B-1 ČSN 02 3311.0

V e r t i k á l n í ř e t ě z



- přenášený výkon $P=1.1 \text{ [kW]}$

- otáčky řetězového kola $n = v / (2 * \pi * r(v))$

$r(v) \dots$ poloměr roztečné kružnice řetězového kola

$v \dots$ maximální rychlosť $q' \text{ (kv)}$

$$r(v) = 0.07 \text{ [m]}; v = 0.85 \text{ [m/s]}$$

Po dosazení vyjde: $n = 1.93 \text{ [1/s]}$

Z důvodu rovnoměrného zatížení vertikálního pojezdu silou

rovnoběžnou s vedením jsem zvolil převod i=1.

- hnací stroj elektromotor s převodovkou
- hnaný stroj vertikální pojezd
- mazání tukem
- druh řetězu válečkový dle ČSN 02 3311

a) návrh počtu zubů z a rozteče t

$$D(t)=2*r(v)=0.14 \text{ [mm]}$$

$$D(t)=t*x$$

Zvolený počet zubů: z=23

$$x=1/(\sin(180^\circ/z))=7.344$$

D(t), r(v)...průměr, poloměr roztečné kružnice

.....koeficient závislý na počtu zubů

t.....zubová rozteč

Po úpravě a dosazení vyjde:

$$t=D(t)/x=19.06 \text{ [mm]}$$

b) volba řetězu

Následující hodnoty součinitelů jsou odečteny z grafů v literatuře (9):

$$Y=2.5; y=0.68; K(1)=1.11; K=K(1)*y=0.755; \dot{\phi}=1; m_y=0.6;$$

potom diagramový výkon bude:

$$P(d)=P/(K*\dot{\phi}*m_y)=2.428 \text{ [kW]}$$

z diagramu se určí pro vypočtený P(d) a otáčky n velikost řetězu:

řetěz 12B-2 ČSN 02 3311 (dvouradý řetěz)

hlavní údaje:

$$t=19.05 \text{ [mm]}; S=179 \text{ [mm}^2]; F(pt)=59 \text{ [kN]}; m^1=2.5 \text{ [kg/m]}$$

c) skutečný průměr roztečné kružnice řetězového kola:

počet zubů z=23

$$D(t)=t*x=19.05*7.344=139.9 \text{ [mm]}$$

d) kontrola navrženého řetězu

$$v=0.85 \text{ [m/s]}$$

$$F=P/v=1100/0.85=1294 \text{ [N]}$$

$$F(c)=m^1*v^2=2.5*0.85^2=1.8 \text{ [N]}$$

Tažná síla vyvolaná odstředivou silou je zanedbatelná.
Zde se bude výpočet provádět podle maximální možné síly
v řetězu:

Tahová síla v řetězu na straně uchopovací hlavy:

$$F(1) = (m(1) + m(3)) * (a + g) = 150 * (2.5 + 9.81) = 1846.5 \text{ [N]}$$

Největší síla v řetězu je $F(1)$, proto v kontrole budu počítat
s touto silou.

Kontrola na otlačení:

$$p(p) = F(1) / S = 1846.5 / 179 = 10.31 \text{ [MPa]}$$

z tabulek: $p=27.84 \text{ [MPa]}$; $\lambda=\lambda(1)*y=0.46$

$$p(d) = p * \lambda = 12.8 \text{ [MPa]}$$

$$p(p) < p(d) \quad \text{řetěz vyhovuje}$$

$p(d)$... dovolený tlak

Kontrola na tah:

$$k(s) = F(pt) / F(1) = 31 > 7 \quad \text{řetěz vyhovuje}$$

$$k(d) = k(s) / Y = 12 > 5 \quad \text{řetěz vyhovuje}$$

V pevnosti je značná rezerva.

e) výpočet počtu článků

délka řetězu $l=1205 \text{ [mm]}$... vyplýnulo z konstrukce

$$\text{skutečný počet článků } x(\text{sk}) = l / t = 1205 / 19.05 = 63.25 = 64$$

f) označení řetězu

řetěz 64 článků 12B-2 ČSN 02 3311.0

Poznámka:

Tyto převody řetězovým kolem a řetězem nejsou řetězové
převody v pravém smyslu slova. Řetěz zde zabezpečuje přeměnu
rotace motoru na posuv horizontálního a vertikálního pojezdu.
Řetěz je zde tažným orgánem.

6. EKONOMICKÝ ROZBOR - ZHODNOCENÍ.

Z hlediska náročnosti požadavků musí být manipulátor řízen procesorem buď analogovým nebo digitálním, tedy řízení bude poměrně komplikované. Zpětné vazbě se při respektování všech požadavků nelze vyhnout.

Řídící elektronika bude mít značný vliv na cenu stroje. Proto se na úrovni ekonomického rozboru pokusím porovnat některé možné způsoby řešení.

Motor bez zpětné vazby by mohl být pouze u horizontálního pohybu, kde je stále stejná velikost dráhy. Řízení by v tomto případě bylo založeno na metodě *PTP*. Metoda spočívá v tom, že pohyb probíhá od výchozího bodu do konečného bodu trajektorie tak, že se postupně pohybuje vždy jen jeden pohybový mechanismus a po jeho zastavení další mechanismus. Kontrolován je jen začátek a konec pohybu každého mechanismu narážkami; mezi polohy kontrolovány nejsou. Při tomto typu řízení se využívá levný analogový procesor.

Toto řešení by šlo využít pouze v případě, že dopravník láhví a dopravník přepravek jsou ve stejné výšce. V tomto případě by šlo metody použít i u vertikálního pohybu. Tím by odpadly zpětné vazby a celý elektronický systém by byl podstatně levnější a jednodušší.

V mém případě, kdy mám předepsanou rozdílnou výšku dopravníků, tohoto řešení využít nelze, tudíž řešení bude trochu složitější. Přibudou zpětné vazby a řízení bude realizováno digitálním procesorem. Avšak i v tomto případě se dá ušetřit ! Pohyb nebude realizován metodou *CP* (po spojitě trajektorii), ale bude využito metody *PTP*, tedy pohyb z bodu do bodu. Tím bude vždy v reálném čase probíhat jen jeden pohyb a to buď vertikální nebo horizontální. V tomto případě nebude procesor vyhodnocovat oba pohyby současně a tím klesne jak nárok na rychlosť procesoru, tak i na operační paměť. To se samozřejmě odrazí v ceně řídícího systému, která poměrně dost poklesne.

V úvahu by připadaly dva tuzemské řídící systémy: NURIS, výrobce Tesla Kolín a ELIS, výrobce Elitron Liberec. Domnívám

se, že by stálo za to uvažovat též o zahraničním "západním" řídícím systému. Tyto systémy bývají spolehlivější a myslím si, že i levnější než tuzemské řídící systémy. Z důvodu spolehlivosti se domnívám, že by bylo dobré o této možnosti uvažovat.

Po mechanické stránce je manipulátor řešen velice jednoduše, ale ne ve všem, jak bych si představoval. Např. vertikální řetězové kolo musí být uloženo samostatně a s převodovkou spojeno pevnou spojkou. Důvod je prostý. Žádná z vyráběných převodovek nemá dovolené zatížení v radiálním směru tak vysoké, jak bych potřeboval. Takovýmito úpravami vzrůstá počet dílů.

Konstrukci jsem řešil s ohledem na ekonomičnost konstrukce, avšak jistě má svoje nedostatky. Přesto se domnívám, že manipulátor by mohl mít vysokou užitnou hodnotu.

Z. Z A V Ě R.

Tato práce se zabývala návrhem univerzálního, programově řízeného, vkladače a vykladače lahví - manipulátoru.

Manipulátor je určen pro nejnižší výkony. Uvažoval jsem nastavený výkon 600 př./hod., což je pro tento typ lahváren - ských linek plně dostačující.

Výsledkem je konstrukční řešení manipulátoru, které splňuje všechny předem stanovené požadavky, přičemž je třeba mít na paměti, že řešení je ve fázi návrhu konstrukce a až praxe (vyrobení prototypu) ukáže, zda zařízení je schopno splnit všechny požadavky. Nemalou mírou se na spolehlivosti manipulátoru bude podílet kvalita elektrické a elektronické části.

Vlastní konstrukce je řešena tak, aby byla co nejjednodušší, spolehlivá, měla dostatečnou životnost a přitom aby splňovala všechny požadavky.

Manipulátor jak již v zadání bylo uvedeno, je určen na vkládání a vykládání lahví do a z přepravek. Dá se však použít i na jiné účely. Jeho nosnost je 50 kg (včetně uchopovací hlavy). Po úpravách by se dal použít i na těžší břemena. Přizpůsobení se jinému výrobku spočívá pouze ve výměně ucho - povací hlavy a změně řídícího programu. Je tedy velice univerzální.

Práci bych chtěl ukončit poděkováním všem, kteří mi její provedení umožnili, zvláště pak ing. Marii Olehlové za přesné a odborné vedení.

PŘÍLOHA – ZAŘAZENÍ STROJE DO LAHVÁRENSKÉ
LINKY

DOPRAVNÍK PŘEPRAVEK

VÝKLADAČ

PLNÍČKA

VKLADAČ

DOPRAVNÍK LAHVi

POS.	ČÍS. VÝKRESU SKLAD. PCLOŽKA	NÁZEV	M. VÝCH	ROZ Z.	Č. NORMY	MJT	HM. Č.	MN. MJT	KS
1	1-BP-164-00	01 HORIZONT.			SVARENÉC				1
		POJEZD							
2		VERTIKÁLNÍ			SVARENÉC				1
		POJEZD							
3		RAMENEC			SVARENÉC				1
4		SLOUP			SVARENÉC				1
5		ÚCHYT ŘETĚZ.			SVARENÉC				1
		KOLA							
6		ÚCHYT VERTIKÁL.			SVARENÉC				1
		PCHONU							
7		ZÁVAZÍ			SVARENÉC				1
8	P 10-130x130	ŘETĚZ.KOLO	12 013.0		ČSN425310				1
9		ŘETĚZ.KOLO			SVARENÉC				1
10		ŘETĚZ.KOLO			SVARENÉC				1
11	ČEP 16-55	HŘÍDEL	11 500.0		ČSN022109				1
12	KR 42-170	HŘÍDEL	11343.0		ČSN420138				1
13	KR 6-70	ČEP	11 600.0		ČSN420138				2
14	KR 6-32	ČEP	11 600.0		ČSN420138				2
15	KR 24-39	ČEP	11 343.0		ČSN420138				8
16	KR 35-65	ČEP	11 343.0		ČSN420138				8
17		ELEKTROPŘEVODOVKA TSN 030444.02-80x10-380, ZTS KOŠICE							1
18		ELEKTROPŘEVODOVKA-DLE POŽADAVKU VE ZPRAVĚ, ACRA PŘELČUC							1
19+		ŘETĚZ 147 ČLÁNKU 1CB-1			ČSN023311.0				1

POUŽ. u č. v. MONT. JEDN.

. CHOTĚBOŘSKÉ STROJÍRNY

CHOTĚBOŘ

IND.	ZMĚNA	dat.	PODPIS	HMOTNOST	MĚR.
ZN. MAT.			TO		
ROZM. - POLOT.					
Č. POM. ZAŘ.					
VYPR. VOLÁK	NORM. R.			Č. SN.	TŘ. C. KTT
PŘEZK.				POZN.	Č. KUSOVNÍKU
TECHN.	SCHVÁLIL			St. v.	Č. v.
NÁZEV	TYP				

VKLADAČ - VYKLADAČ

0-BP-164-00

POUŽ. u č. v. MONT. JEDN.

CHOTĚBOŘSKÉ STROJÍRNY

IND.	ZMĚNA	dat.	PODPIS	CHOTĚBOR	
ZN. MAT.	TO		HMOTNOST	MĚŘ.	
ROZM. - POLOT.			Č. SN.	TR. C. KTT	
Č. POM. ZAŘ.			POZN.	Č. KUSOVNÍKU	
VYPR. VOLÁK	NORM. R.		St. v.	C. v.	
PŘEZK.					
TECHN.	SCHVÁLIL				
NÁZEV	TYP				

HORIZONTÁLNÍ POJEZD

1 BP 164 00.01

POUŽ. u č. v. MONT. JEDN.

CHOTĚBOŘSKÉ STROJIRNY

IND.	ZMĚNA	dat.	PODPIS	CHOTĚBORKA	
ZN. MAT.			TO	HMETNOST	MĚR.
ROZM. - POLOT.				Č. SN.	TŘ. C. KTT
Č. POM. ZAŘ.				POZN.	Č. KUSOVNÍKU
VYPR. VOLÁK	NORM. R.			St. v.	Č. v.
PŘEZK.					
TECHN.	SCHVÁLIL				
NÁZEV	TYP				

0-BP-164-00

POS.	ČÍS. VÝKRESU SKLAD. POLOŽKA	NÁZEV	M. VÝCH	ROZ Z.	Č. NORMY	MJT	HM. Č.	MN. MJT	KS
20		ŘETĚZ 64 ČLÁNKU	12B-2		ČSN023311.0				1
21		PERO 12e7x8x23			ČSN022562				1
22		LOŽISKO 6002-2RS			ČSN024630				8
23		LOŽISKO 6008-2RS			ČSN024630				2
24		LOŽISKO 6404-2RS			ČSN024630				8
25		LOŽISKO 3202-2RS			ČSN024665				1
26		KRUŽEK 35			ČSN022935				2
27		KRUŽEK 40			ČSN022935				1
28		KRUŽEK 68			ČSN022935				1
29		ZÁVLAČKA 1,2x12			ČSN021781.00				4
30		ŠROUB M6x15			ČSN021101.10				6
31		ŠROUB M6x80			ČSN021101.10				2
32		ŠROUB M8x22			ČSN021101.10				8
33		ŠROUB M8x25			ČSN021101.10				8
34		ŠROUB M10x30			ČSN021101.10				8
35		ŠROUB M12x35			ČSN021101.10				4
36		PODLOŽKA M62			ČSN023640				9
37		PODLOŽKA MB4			ČSN023640				8
38		PODLOŽKA MP8			ČSN023640				1
39		PODLOŽKA A6,4			ČSN021702.10				8
40		PODLOŽKA 8,4			ČSN021702.10				16
41		PODLOŽKA 10,5			ČSN021702.10				8
42		PODLOŽKA 13			ČSN021702.10				4

POUŽ. u č. v. MONT. JEDN.

CHOTĚBOŘSKÉ STROJÍRNY

CHOTĚBOŘ

IND.	ZMĚNA	dat.	PODPIS	HMOTNOST	MĚR.
ZN. MAT.			TO		
ROZM. - POLOT.					
Č. POM. ZÁR.					
VYPR. VOLÁK	NORM. R.			Č. SN.	TŘ. C. KTT
PŘEZK.				POZN.	Č. KUSOVNÍKU
TECHN.	SCHVÁLIL			St. v.	C. v.
NÁZEV	TYP				

0-BP-164-00

list 4

list 3

VKLADAČ-VYKŁADAČ